

Incontri di Fisica delle Alte Energie, Catania, 12 Marzo 2023

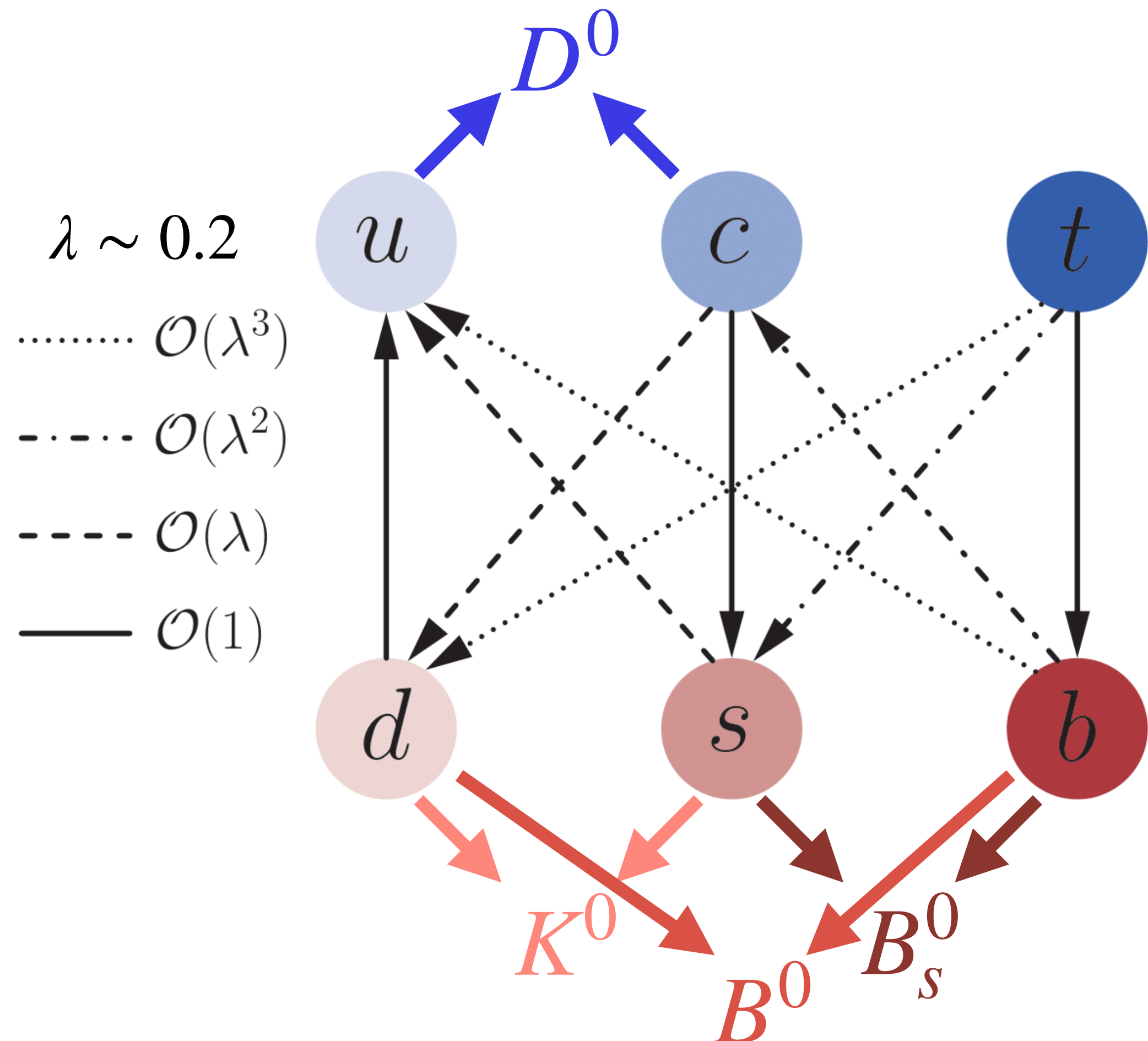
Misure di oscillazione e di violazione di CP nei decadimenti $D^0 \rightarrow h^- h^+$ a LHCb

Perché il Charm?

Unici mesoni neutri contenenti quark di tipo *up* in cui si possono osservare mescolamento e violazione di CP

A causa della soppressione CKM, mescolamento e CPV sono predetti essere piccoli $\sim 10^{-3}$

Predizioni teoriche più accurate sono complicate da effetti di QCD non perturbativa



Perché il Charm?

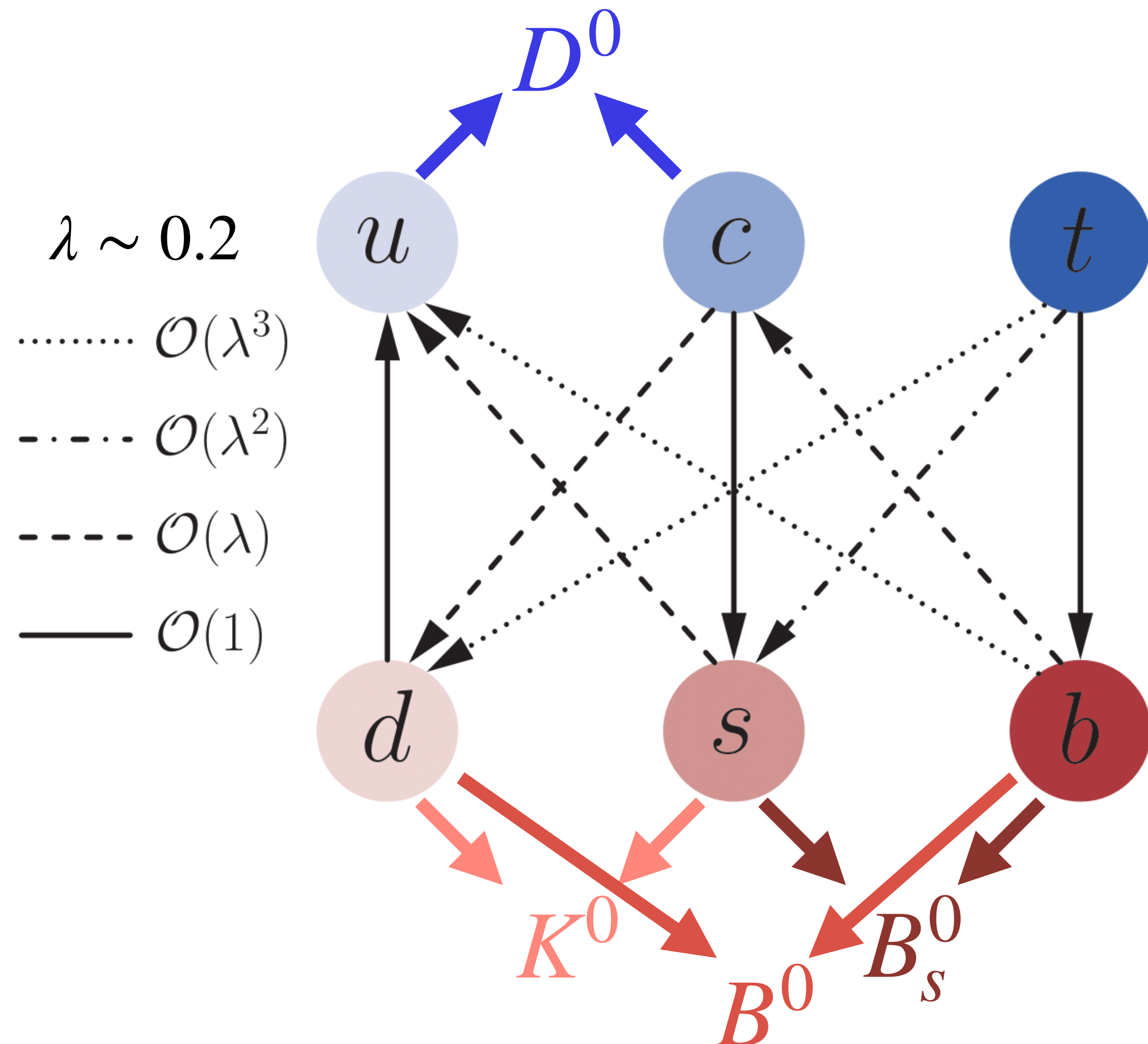
Unici mesoni neutri contenenti quark di tipo *up* in cui si possono osservare mescolamento e violazione di CP

A causa della soppressione CKM, mescolamento e CPV sono predetti essere piccoli $\sim 10^{-3}$

Predizioni teoriche più accurate sono complicate da effetti di QCD non perturbativa

Violazione di CP osservata per la prima volta da LHCb nel 2019

$$\Delta A_{CP} = (-15.4 \pm 2.9) \times 10^{-4}$$



Mescolamento nel Charm

Gli autoscatti di sapore del D^0 sono diversi dagli autoscatti di evoluzione temporale:

$$|D_L\rangle = p|D^0\rangle + q|\bar{D}^0\rangle \quad |D_H\rangle = p|D^0\rangle - q|\bar{D}^0\rangle$$

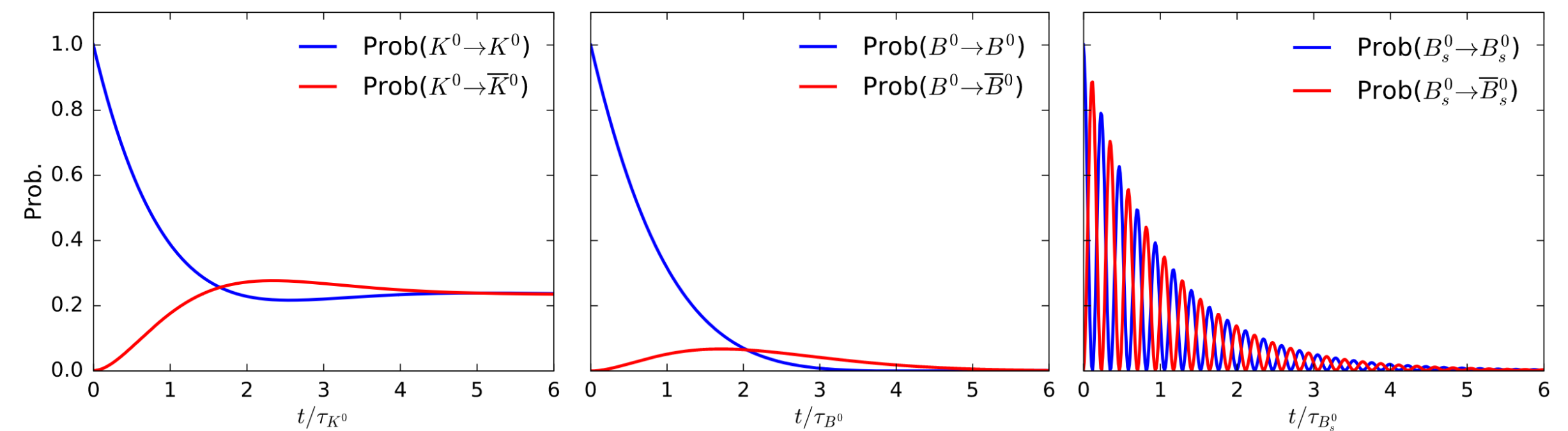
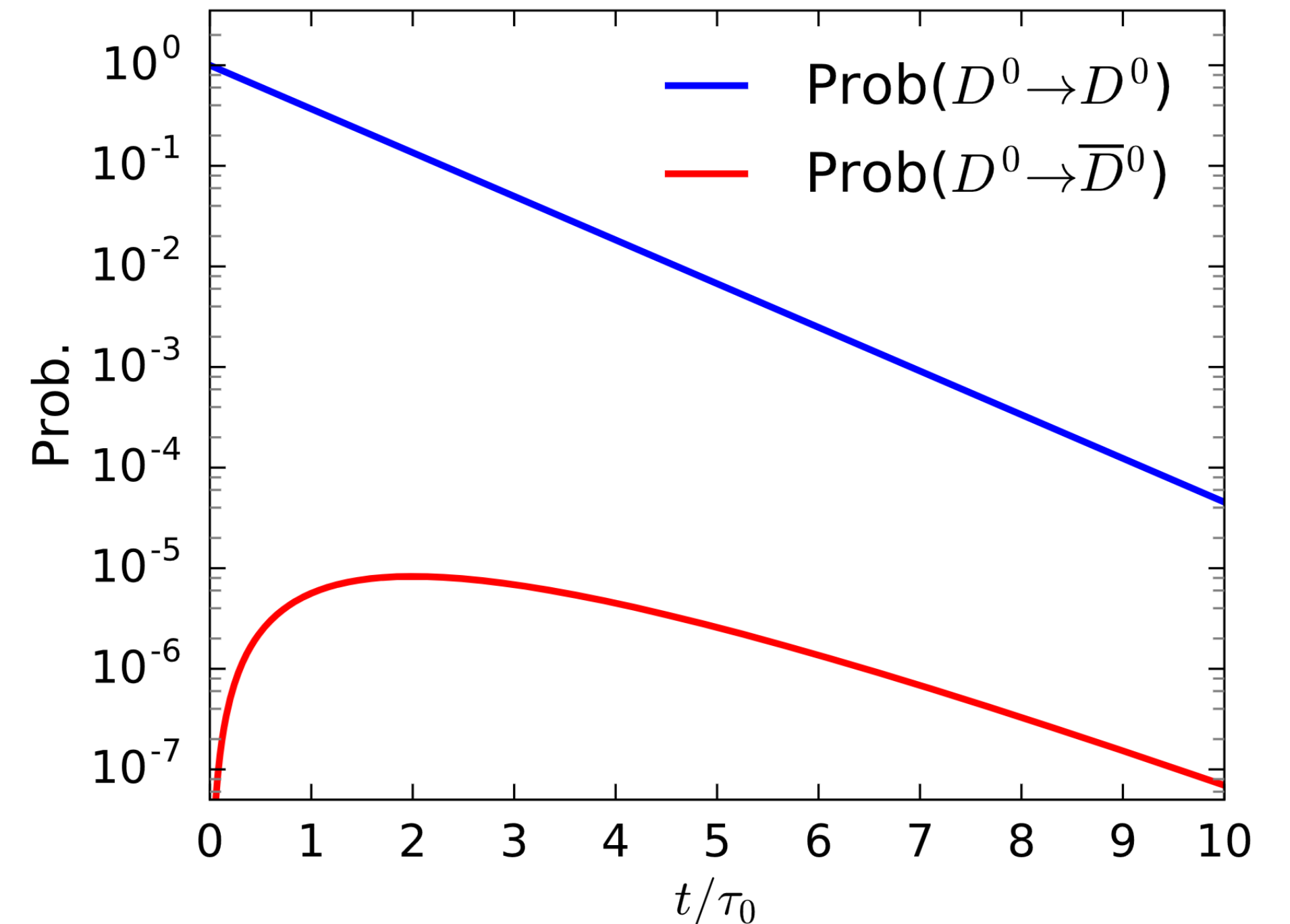
Attualmente le misure dei parametri di mescolamento sono dominate da LHCb:

$$x \equiv \frac{m_H - m_L}{\Gamma} = 0.41 \pm 0.04 \%$$

$$y \equiv \frac{\Gamma_H - \Gamma_L}{2\Gamma} = 0.65 \pm 0.02 \%$$

[HFLAV 08/22]

[PRL 127.111801, PRD 105.092013, PRD 97.031101]



Violazione di CP nel Charm

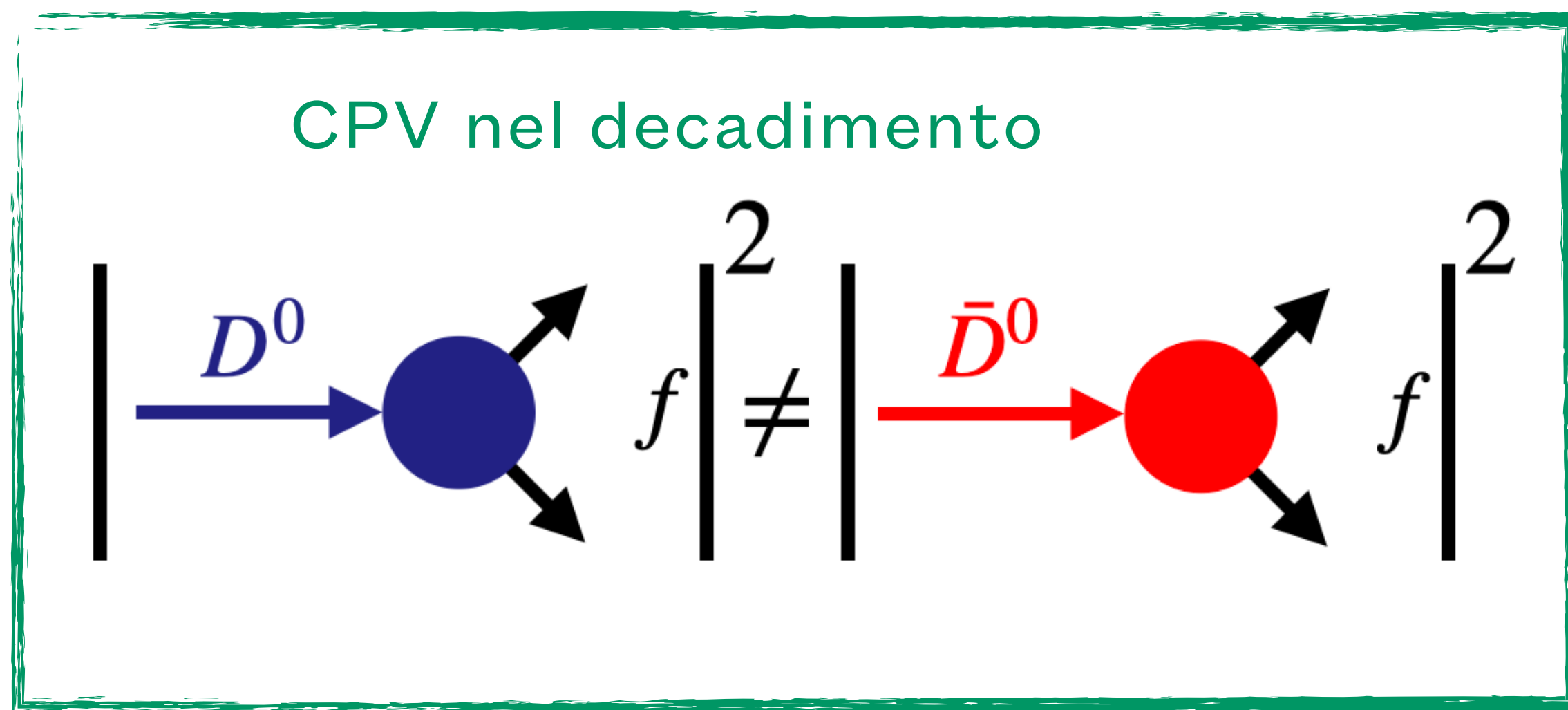
Nei decadimenti del D^0 in $f = K^-K^+, \pi^-\pi^+$ (singolo-Cabibbo soppressi e CP pari) si ha:

$$A_{CP}(f, t) = \frac{\Gamma(D^0 \rightarrow f, t) - \Gamma(\bar{D}^0 \rightarrow f, t)}{\Gamma(D^0 \rightarrow f, t) + \Gamma(\bar{D}^0 \rightarrow f, t)} \approx a_f^d + \Delta Y \frac{t}{\tau_{D^0}}$$

Violazione di CP nel Charm

Nei decadimenti del D^0 in $f = K^-K^+, \pi^-\pi^+$ (singolo-Cabibbo soppressi e CP pari) si ha:

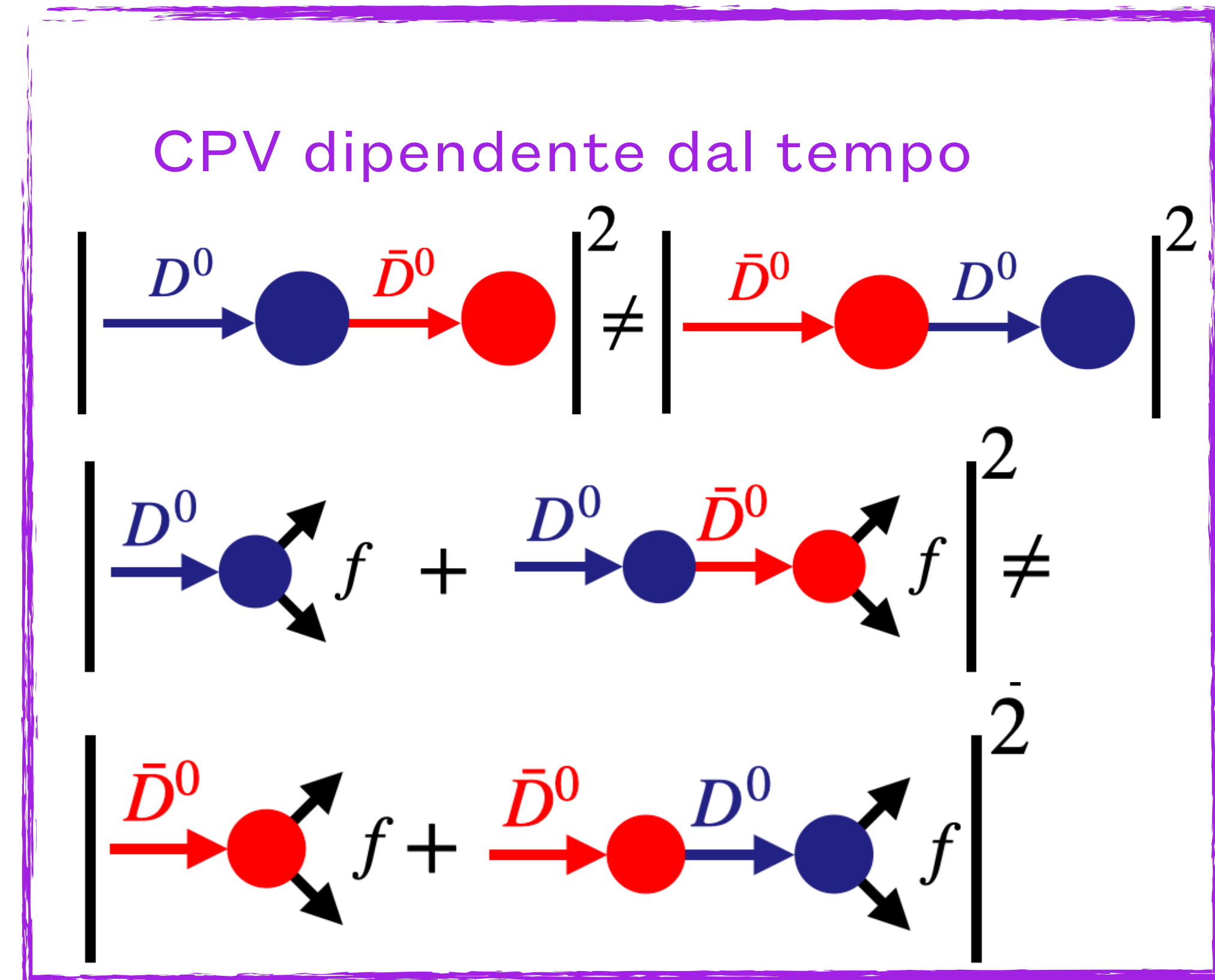
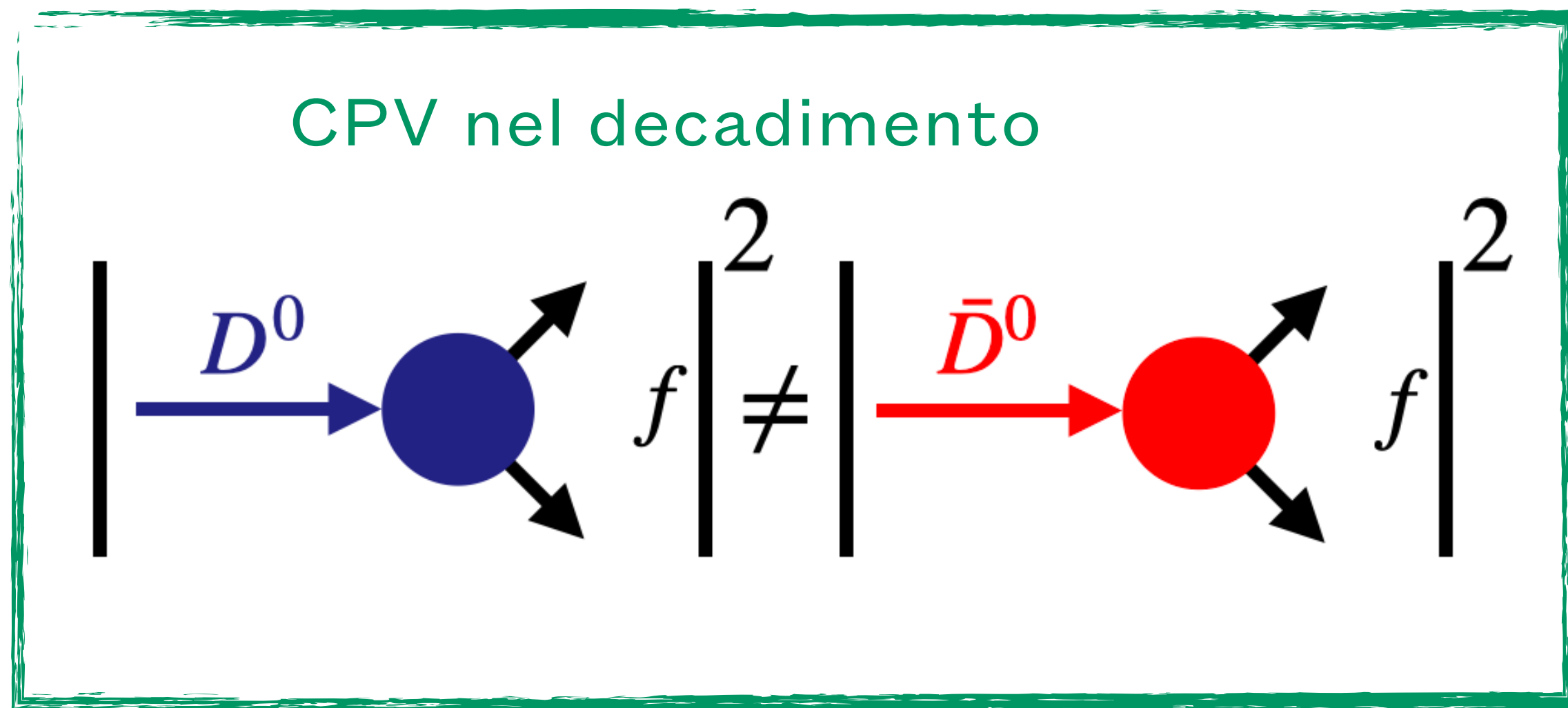
$$A_{CP}(f, t) = \frac{\Gamma(D^0 \rightarrow f, t) - \Gamma(\bar{D}^0 \rightarrow f, t)}{\Gamma(D^0 \rightarrow f, t) + \Gamma(\bar{D}^0 \rightarrow f, t)} \approx a_f^d + \Delta Y \frac{t}{\tau_{D^0}}$$



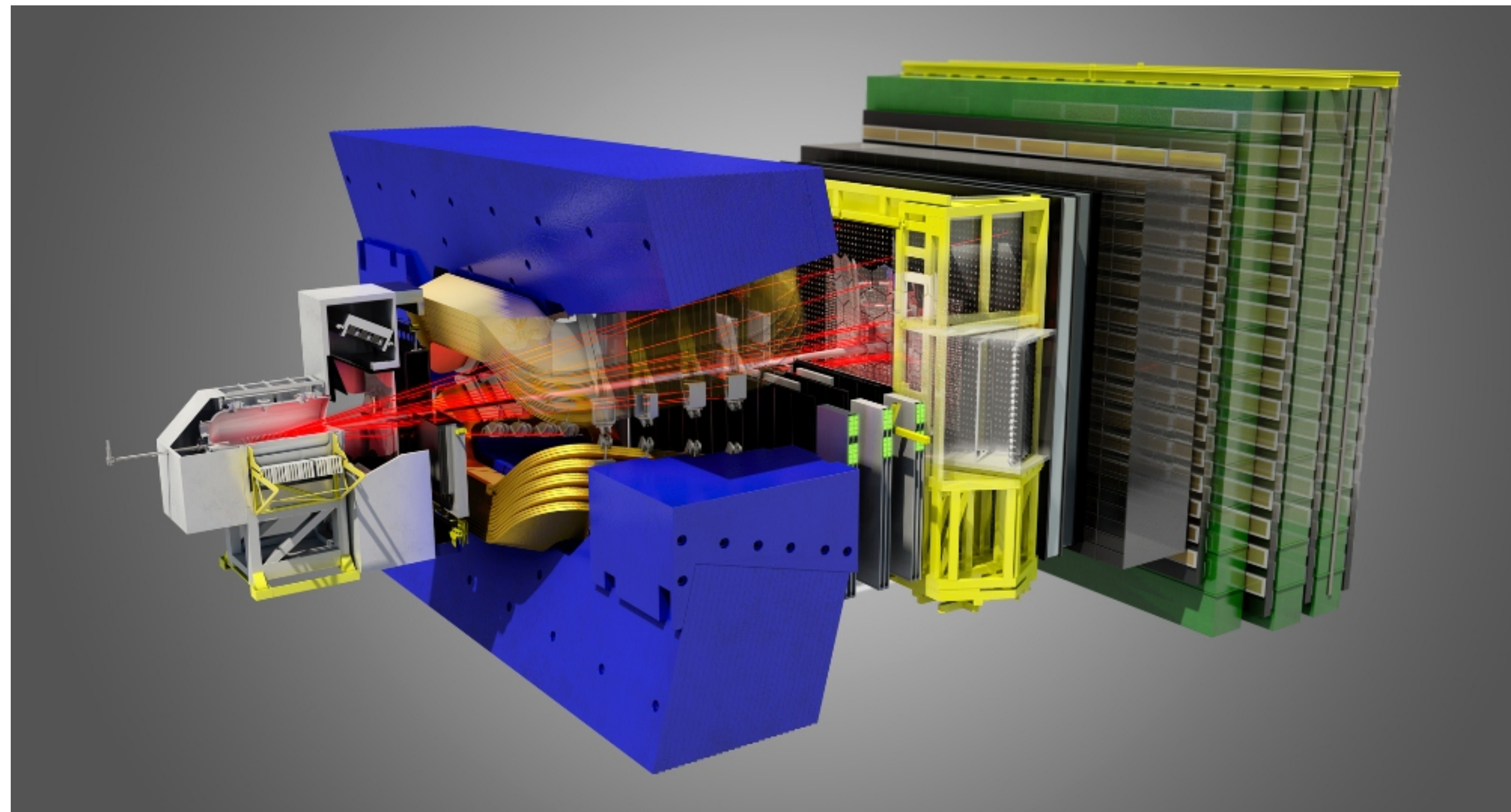
Violazione di CP nel Charm

Nei decadimenti del D^0 in $f = K^-K^+, \pi^-\pi^+$ (singolo-Cabibbo soppressi e CP pari) si ha:

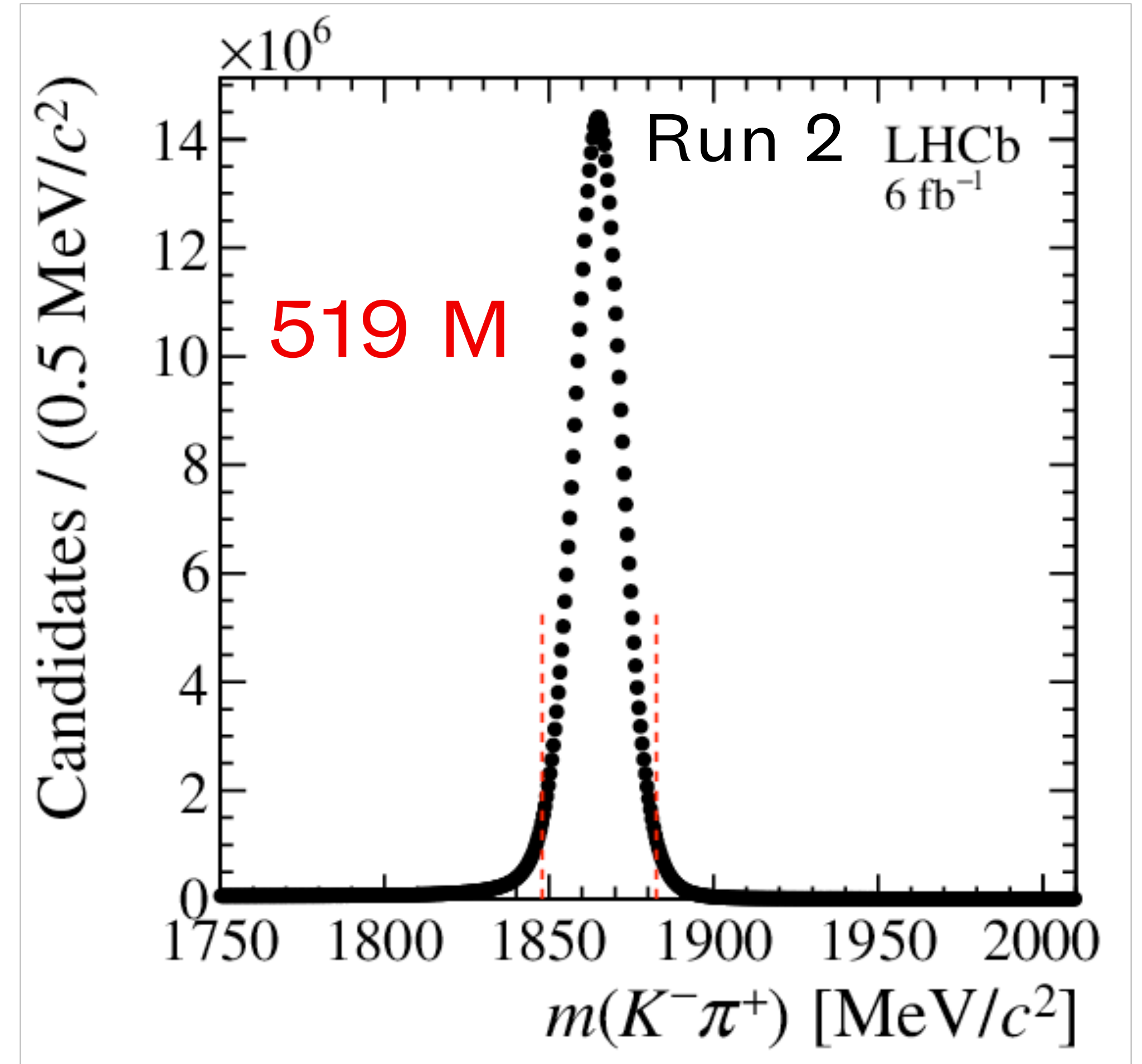
$$A_{CP}(f, t) = \frac{\Gamma(D^0 \rightarrow f, t) - \Gamma(\bar{D}^0 \rightarrow f, t)}{\Gamma(D^0 \rightarrow f, t) + \Gamma(\bar{D}^0 \rightarrow f, t)} \approx a_f^d + \Delta Y \frac{t}{\tau_{D^0}}$$



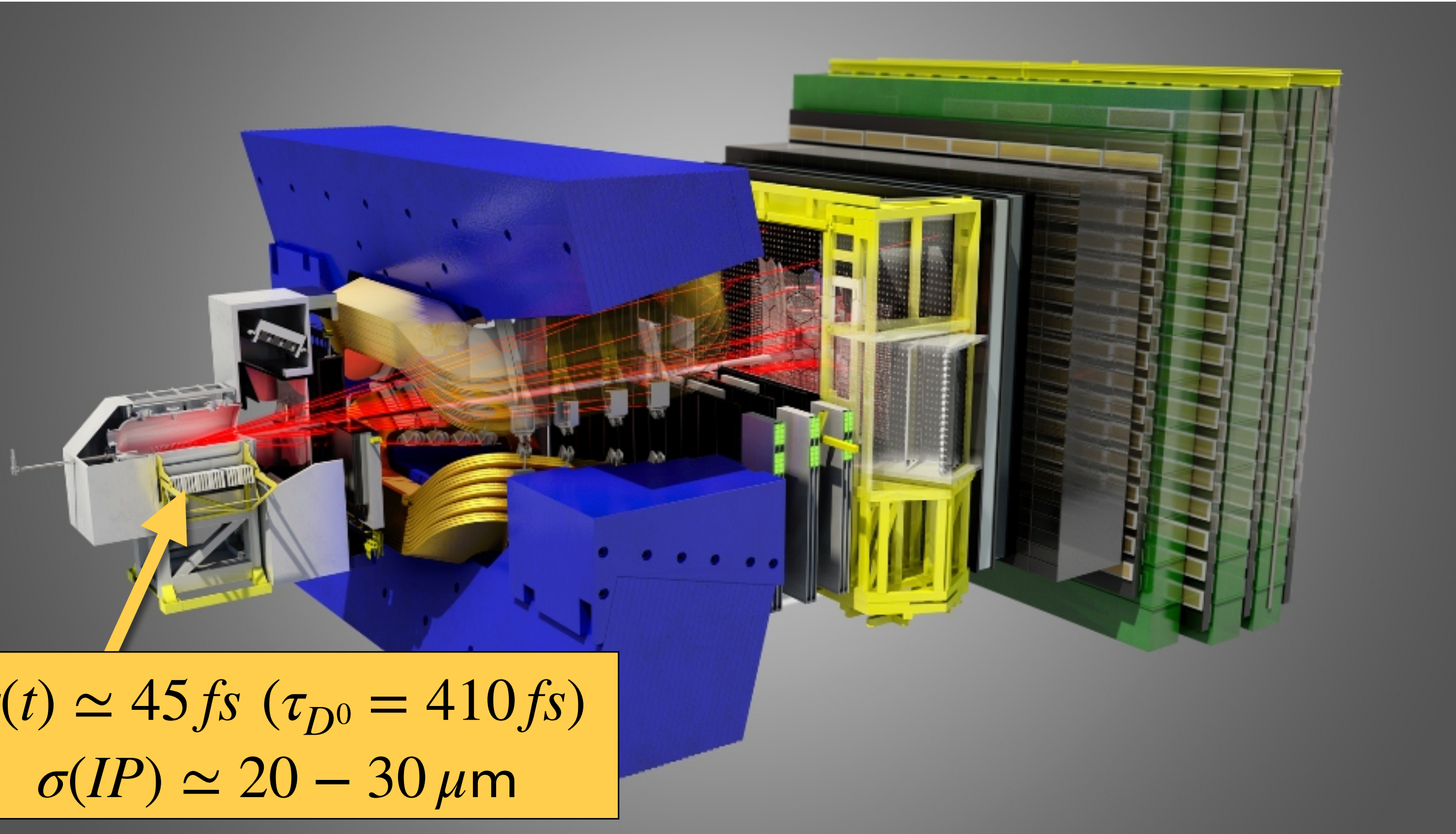
LHCb, una fabbrica di Charm



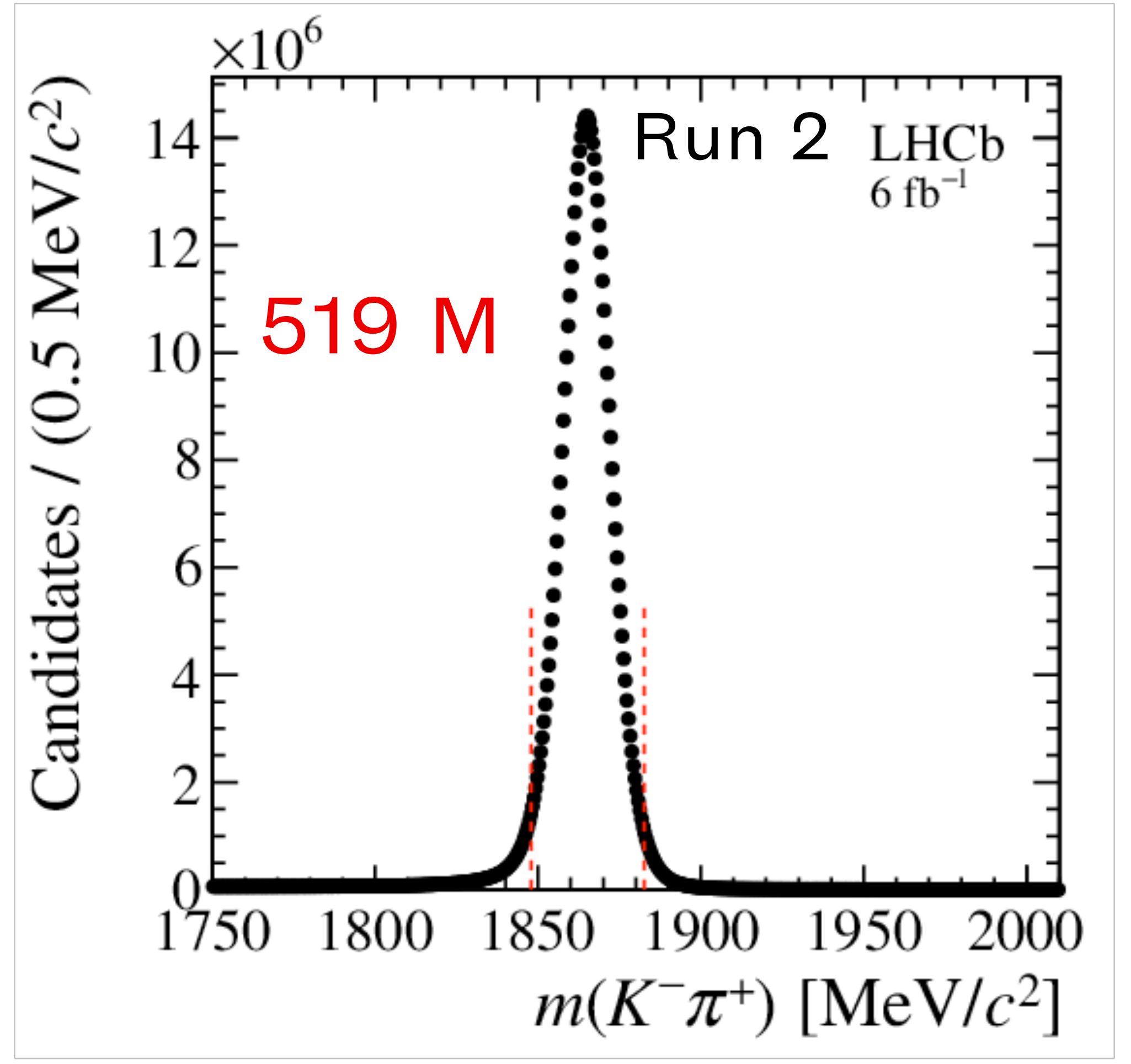
$$\sigma(pp \rightarrow c\bar{c}) \simeq 20 \sigma(pp \rightarrow c\bar{c}) \simeq 2.4 \text{ mb}$$



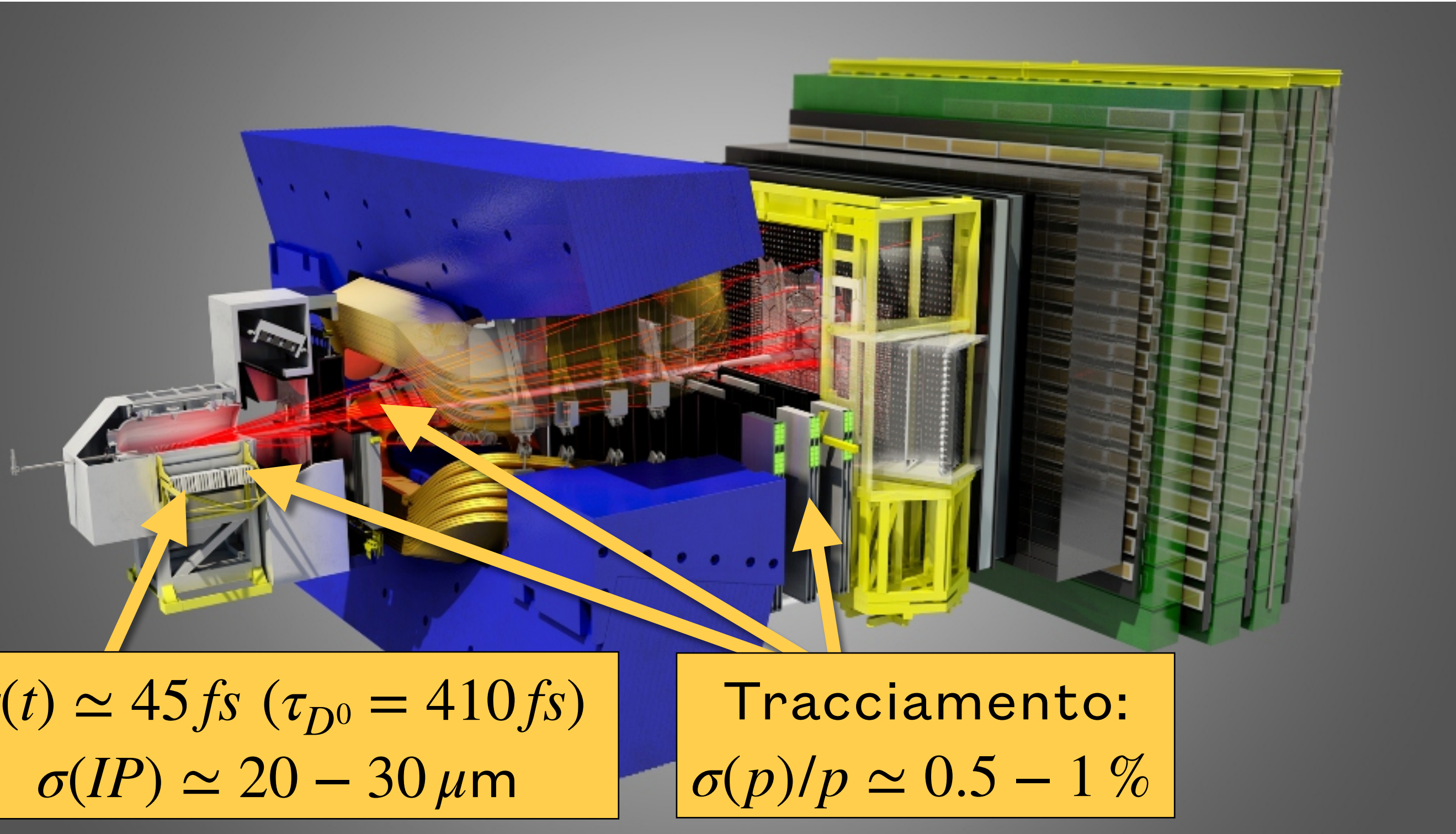
LHCb, una fabbrica di Charm



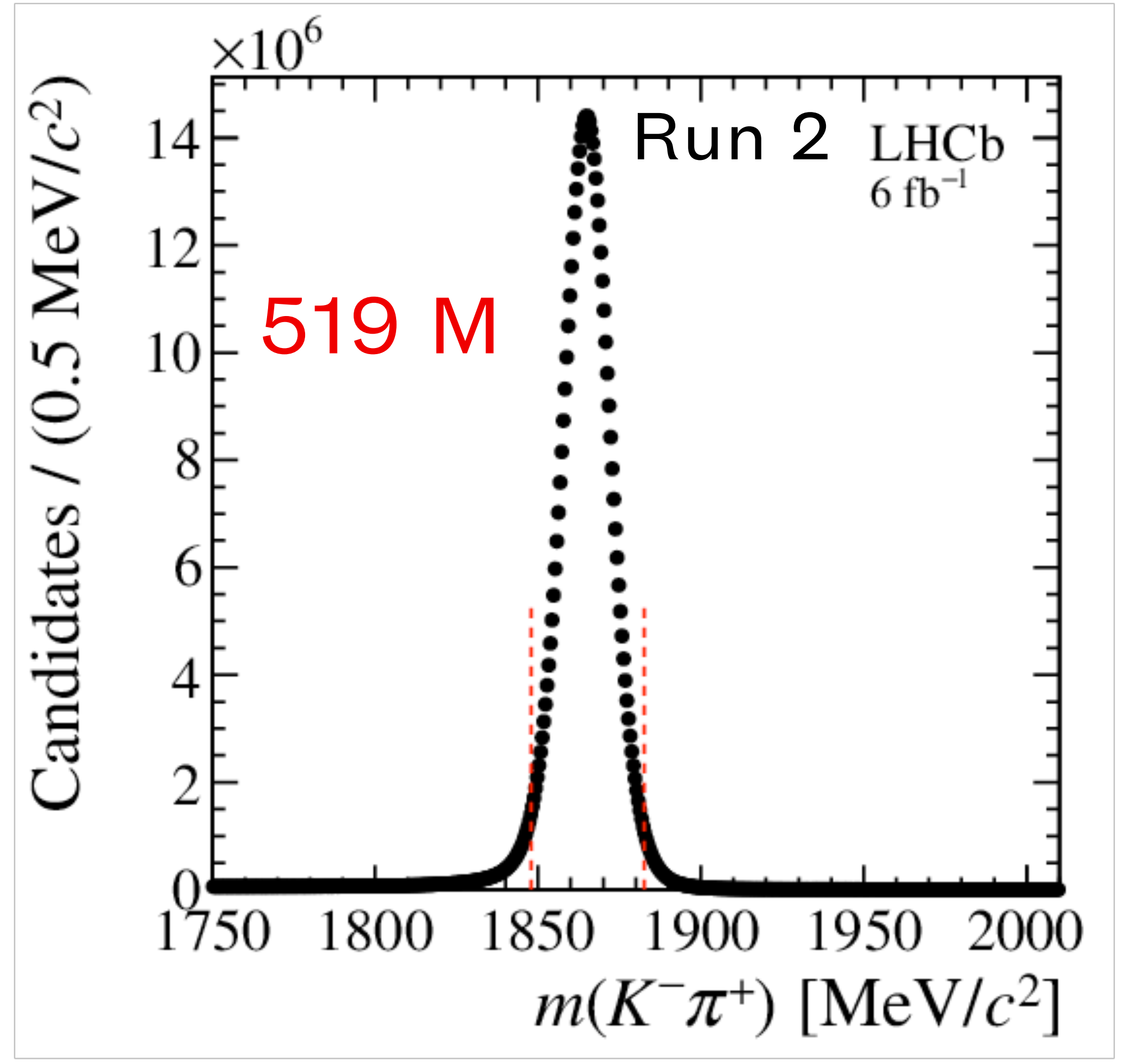
$$\sigma(pp \rightarrow c\bar{c}) \simeq 20 \sigma(pp \rightarrow c\bar{c}) \simeq 2.4 \text{ mb}$$



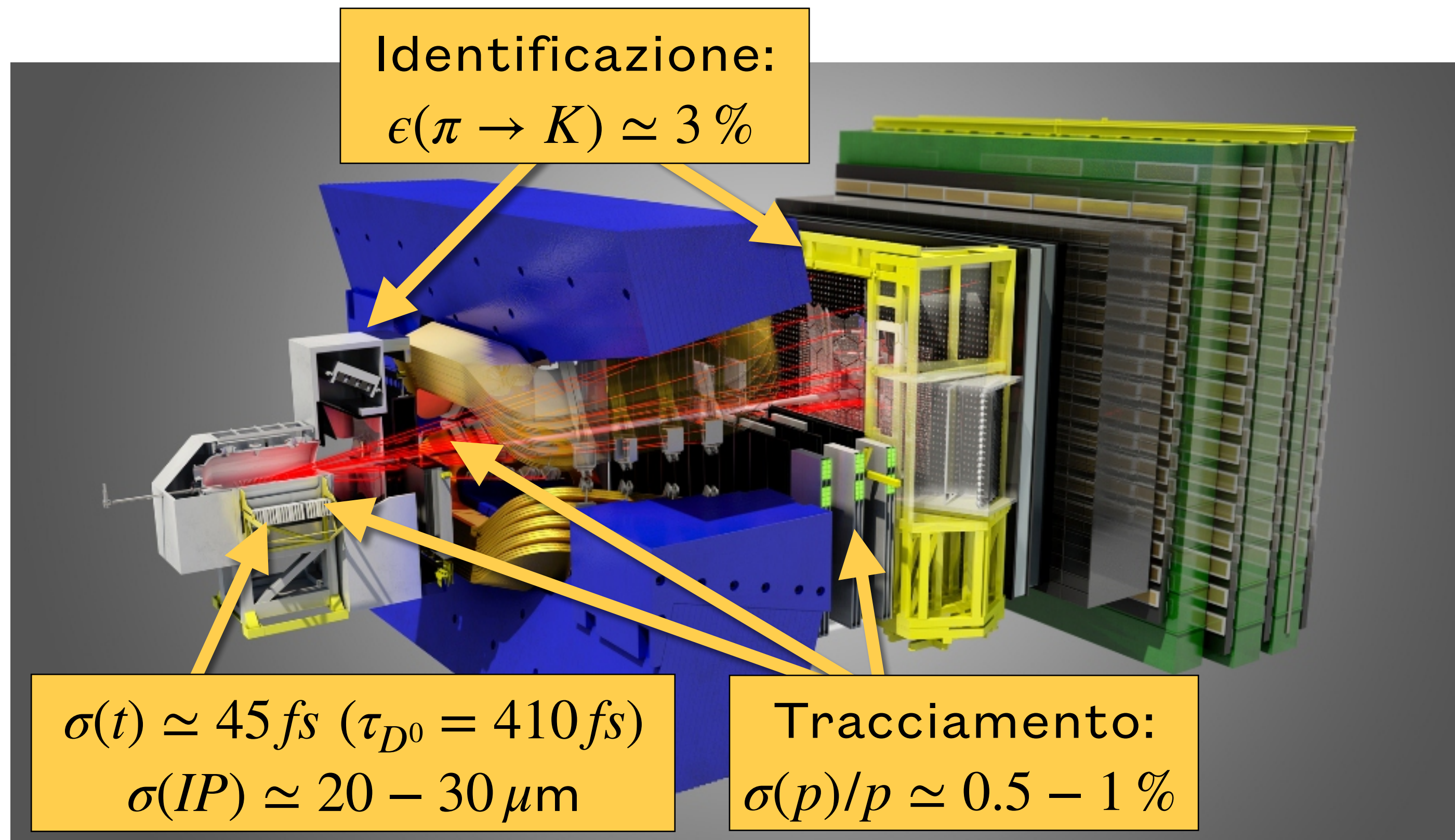
LHCb, una fabbrica di Charm



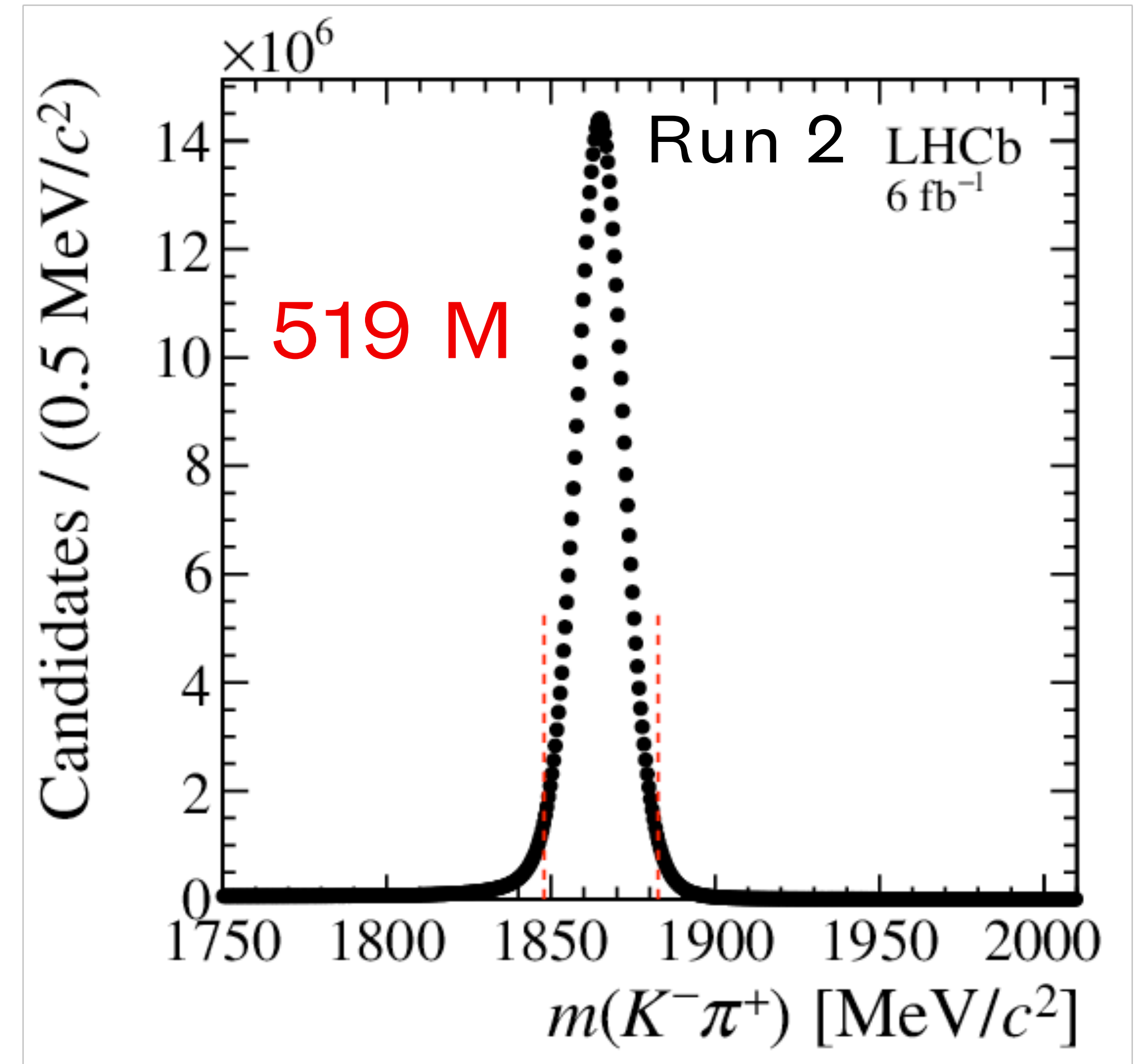
$$\sigma(pp \rightarrow c\bar{c}) \simeq 20 \sigma(pp \rightarrow c\bar{c}) \simeq 2.4 mb$$



LHCb, una fabbrica di Charm

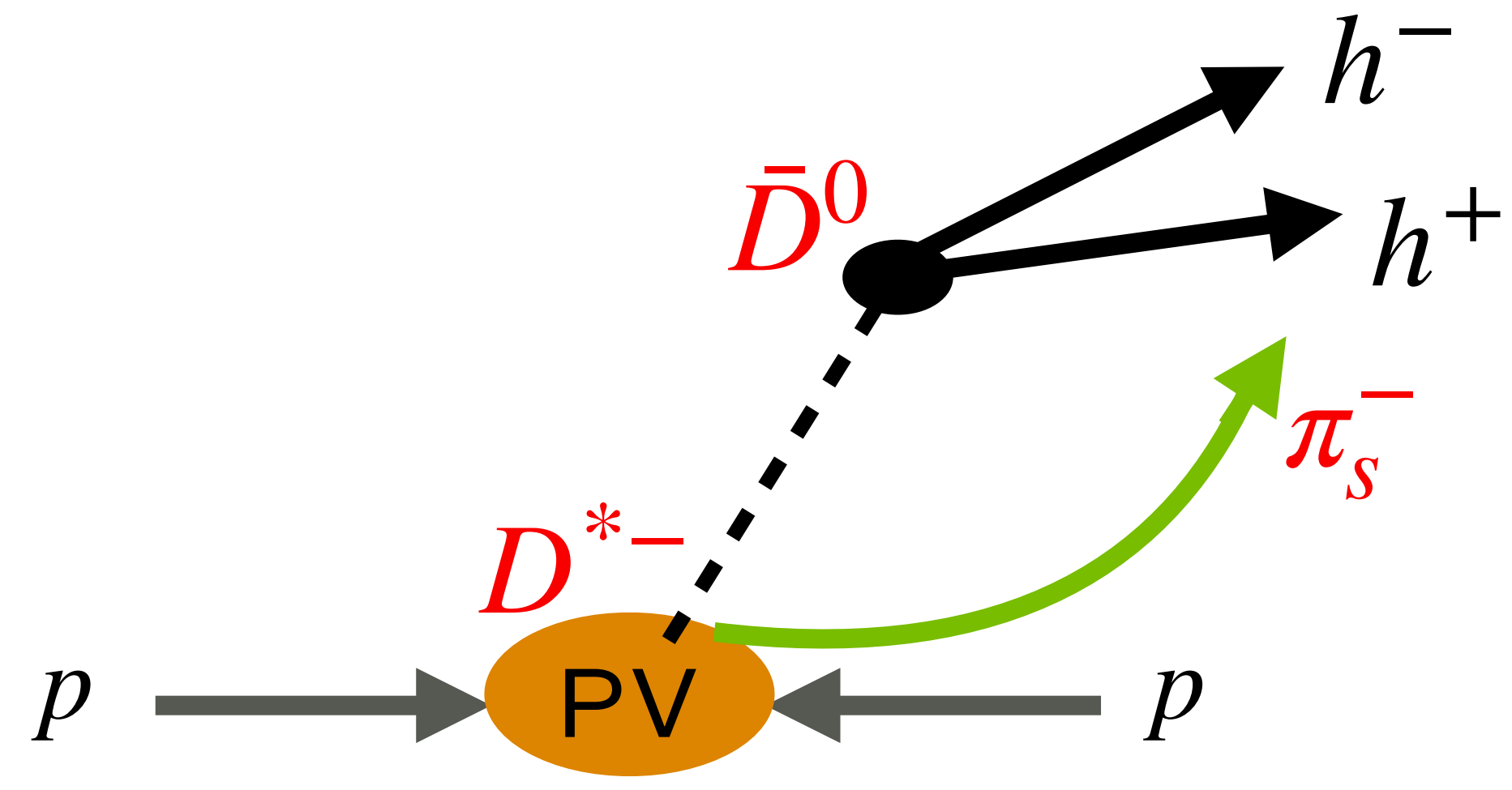
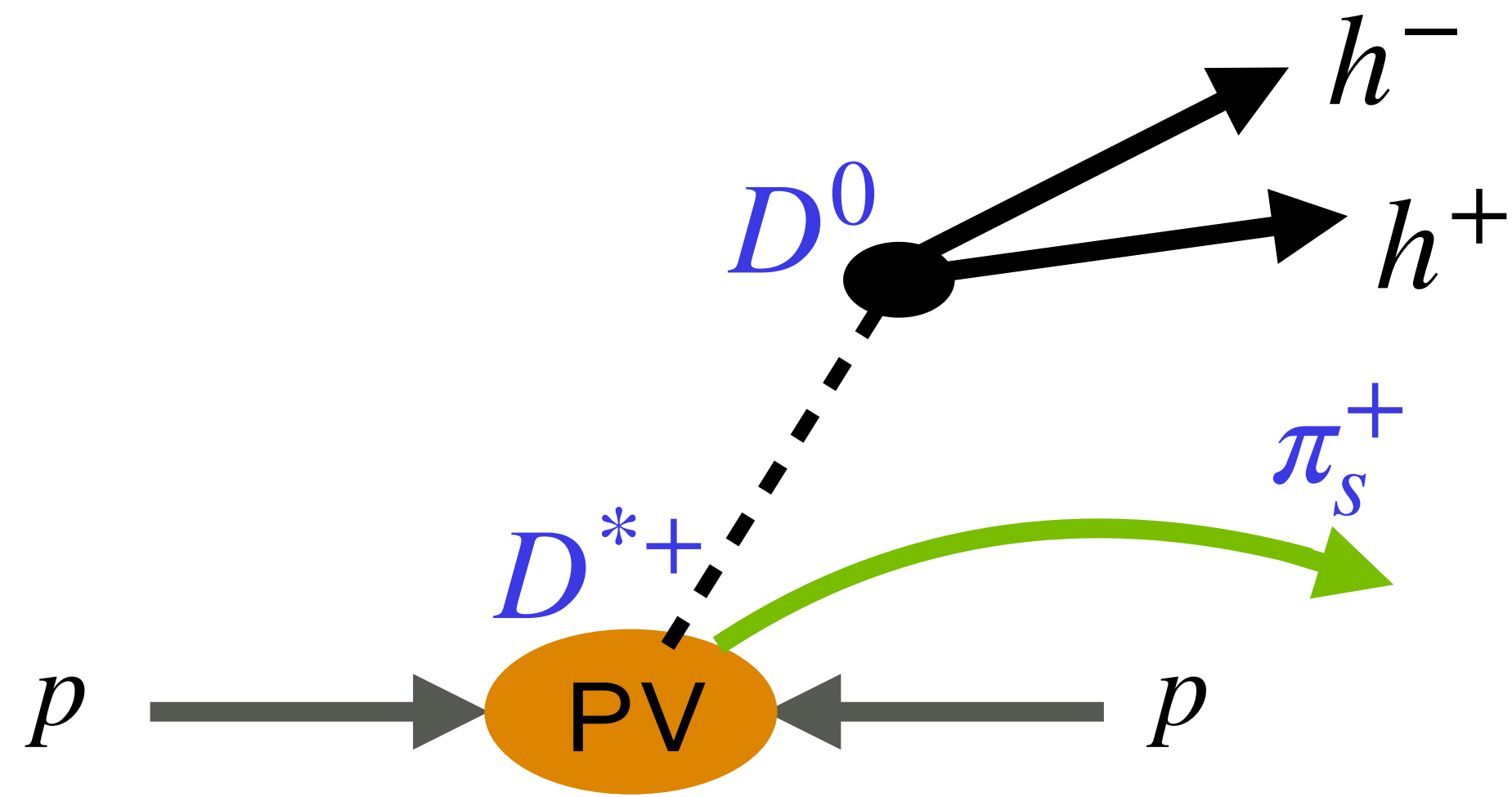


$$\sigma(pp \rightarrow c\bar{c}) \simeq 20 \sigma(pp \rightarrow c\bar{c}) \simeq 2.4 mb$$



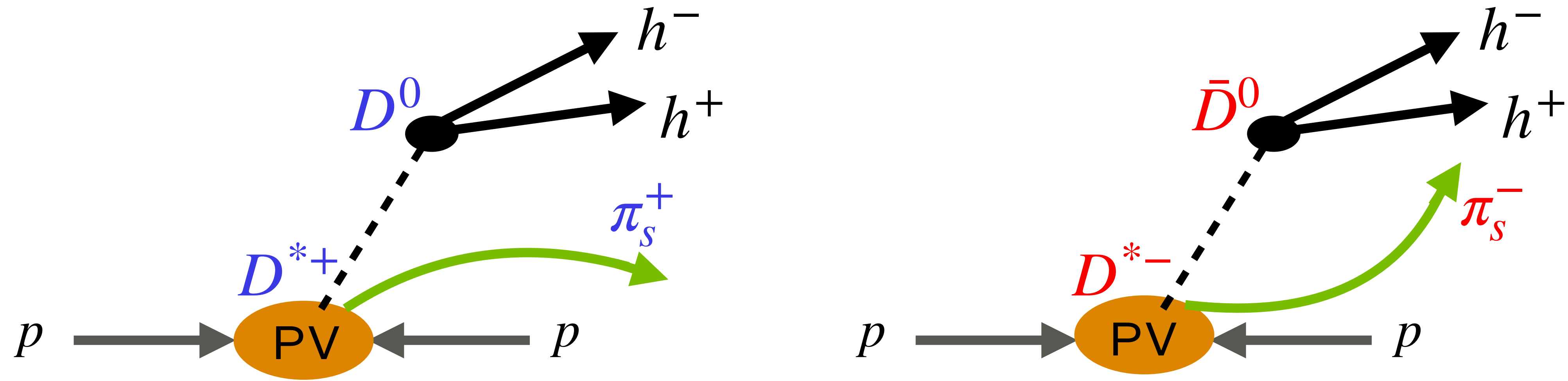
Asimmetrie sperimentali

Per assegnare il sapore del mesone neutro si sfruttano i decadimenti del D^*



Asimmetrie sperimentali

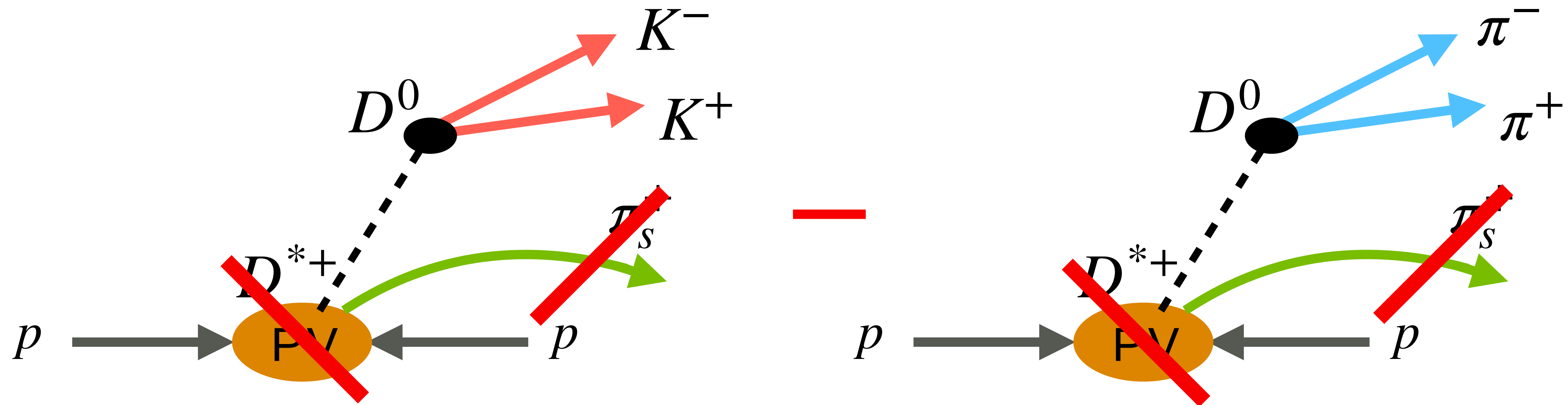
Per assegnare il sapore del mesone neutro si sfruttano i decadimenti del D^*



Questo processo introduce delle asimmetrie spurie $\sim 1\%$

$$A_{raw}(D^0 \rightarrow f) = \frac{N(D^0 \rightarrow f) - N(\bar{D}^0 \rightarrow f)}{N(D^0 \rightarrow f) + N(\bar{D}^0 \rightarrow f)} = A_{CP}(f) + A_P(D^*) + A_D(\pi_s)$$

L'osservabile d'oro: ΔA_{CP}



La differenza delle asimmetrie osservate cancella le asimmetrie spurie

$$\Delta A_{CP} = A_{raw}(K^-K^+) - A_{raw}(\pi^-\pi^+) = A_{CP}(K^-K^+) - A_{CP}(\pi^-\pi^+) = \Delta a_{CP}^d + \Delta Y \frac{\Delta \langle t \rangle}{\tau(D^0)}$$

L'osservabile d'oro: ΔA_{CP}

[PRL 122.211803]

Con i dati del Run 2 (5.9 fb^{-1}) a 13 TeV:

$$\Delta A_{CP}^{\pi\text{-tagged}} = (-18.2 \pm 3.2 \pm 0.9) \times 10^{-4}$$

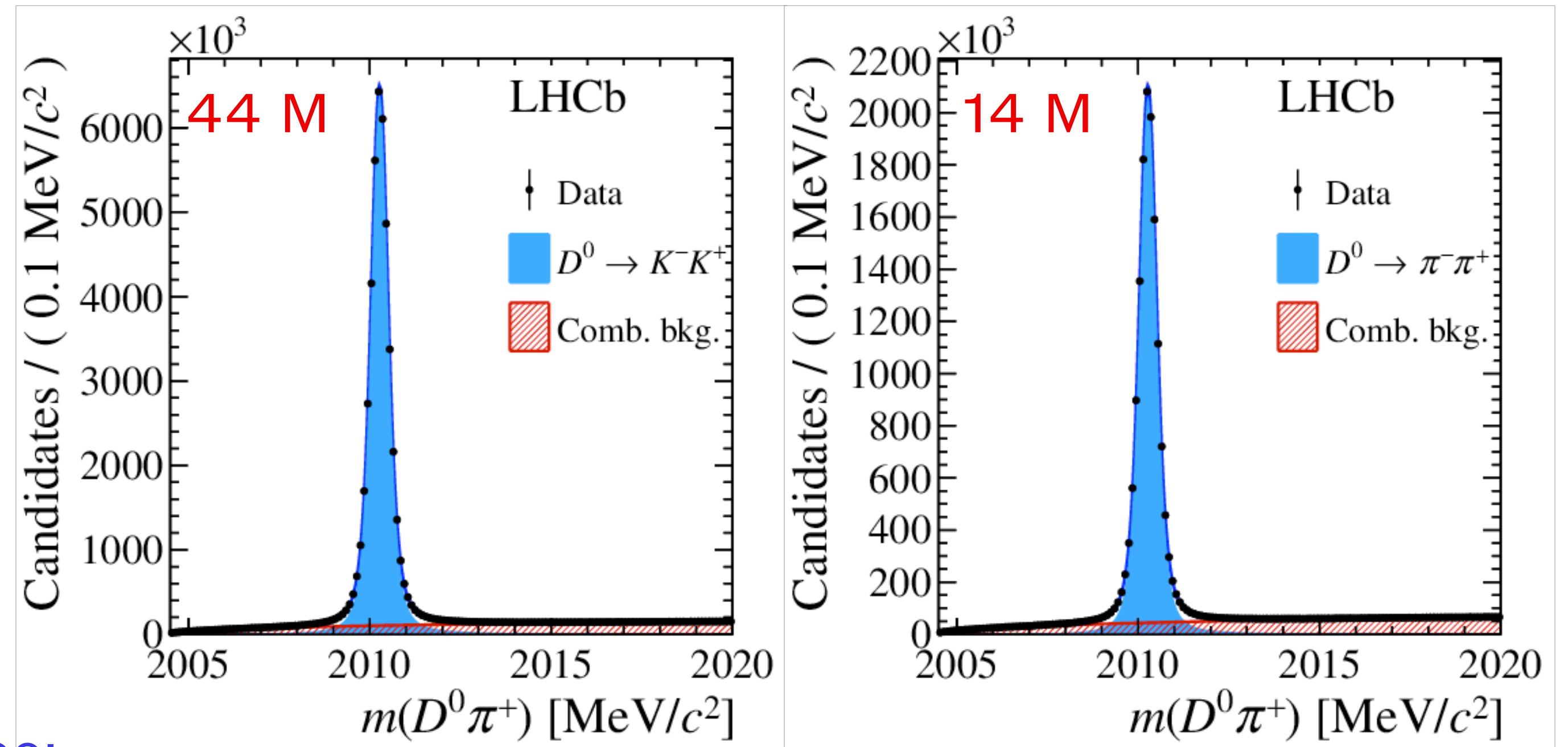
$$\Delta A_{CP}^{\mu\text{-tagged}} = (-9 \pm 8 \pm 5) \times 10^{-4}$$

Combinando con il Run 1 (3 fb^{-1}) a 7 – 8 TeV:

$$\Delta A_{CP} = (-15.4 \pm 2.9) \times 10^{-4}$$

Sottraendo il contributo dipendente dal tempo:

$$\Delta a_{CP}^d = (-15.7 \pm 2.9) \times 10^{-4}$$



L'osservabile d'oro: ΔA_{CP}

[PRL 122.211803]

Con i dati del Run 2 (5.9 fb^{-1}) a 13 TeV:

$$\Delta A_{CP}^{\pi\text{-tagged}} = (-18.2 \pm 3.2 \pm 0.9) \times 10^{-4}$$

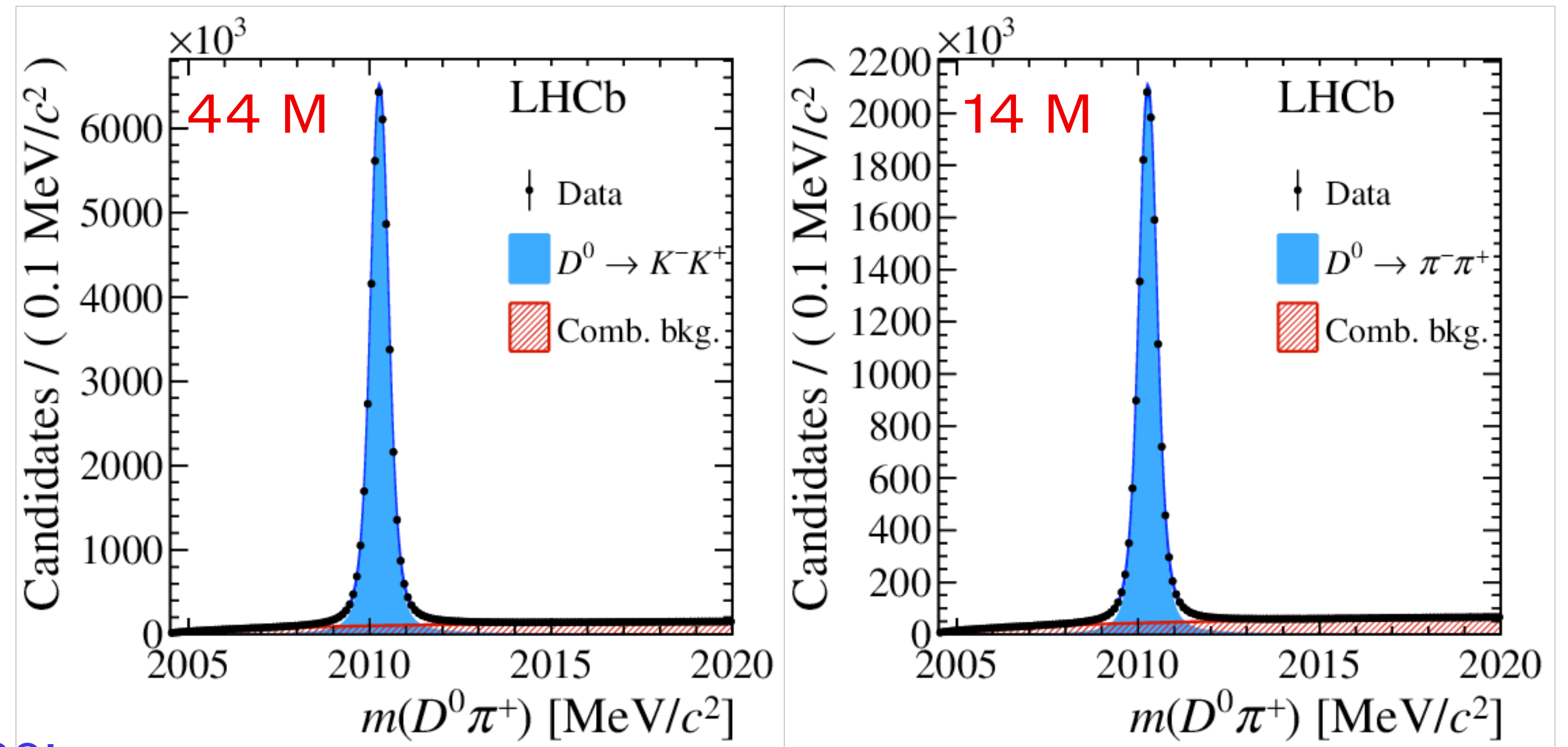
$$\Delta A_{CP}^{\mu\text{-tagged}} = (-9 \pm 8 \pm 5) \times 10^{-4}$$

Combinando con il Run 1 (3 fb^{-1}) a 7 – 8 TeV:

$$\Delta A_{CP} = (-15.4 \pm 2.9) \times 10^{-4}$$

Sottraendo il contributo dipendente dal tempo:

$$\Delta a_{CP}^d = (-15.7 \pm 2.9) \times 10^{-4}$$



Prima osservazione della violazione di CP nel settore del Charm nel 2019!

Violazione di CP dipendente dal tempo: ΔY

$$A_{raw}(f, t) = \frac{N(D^0 \rightarrow f, t) - N(\bar{D}^0 \rightarrow f, t)}{N(D^0 \rightarrow f, t) + N(\bar{D}^0 \rightarrow f, t)} \approx A_0 + \boxed{\Delta Y} \frac{t}{\tau_{D^0}}$$

Contiene asimmetrie spurie

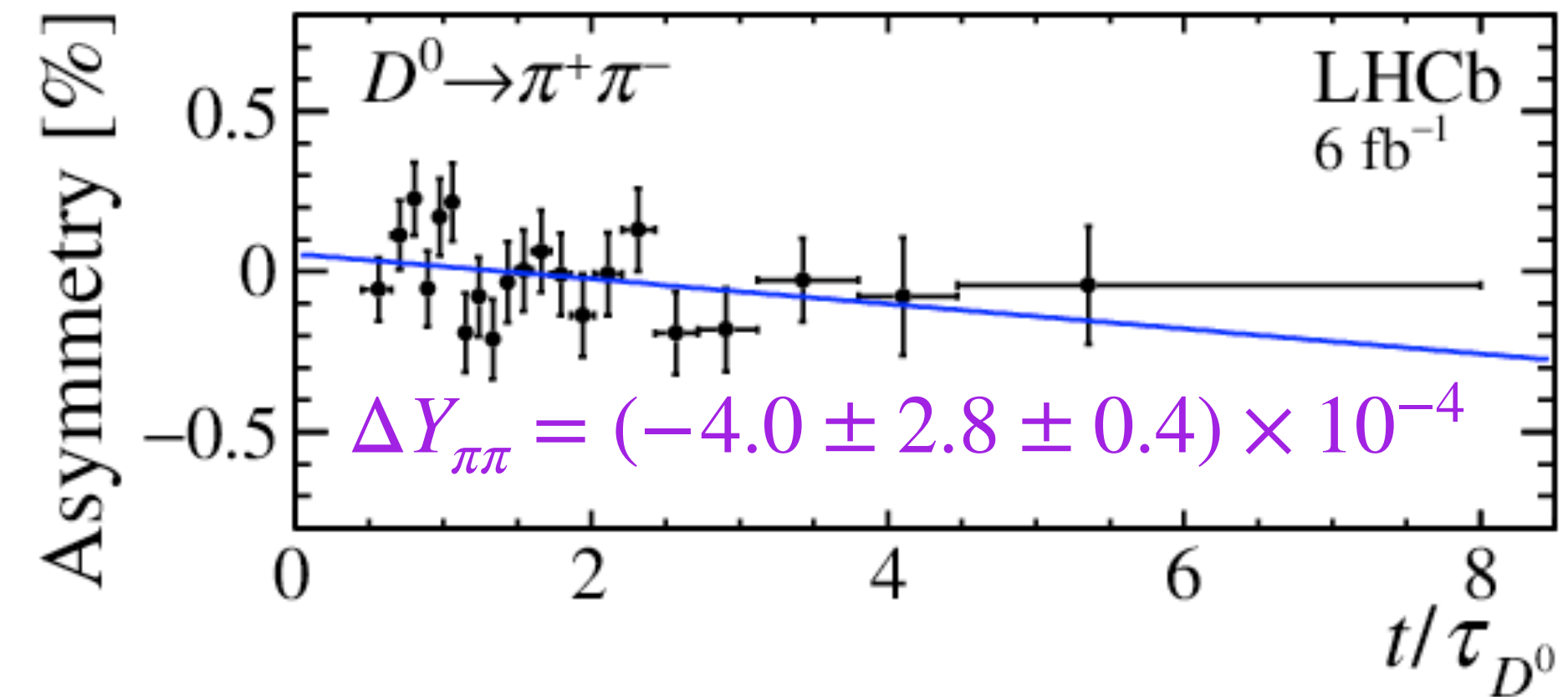
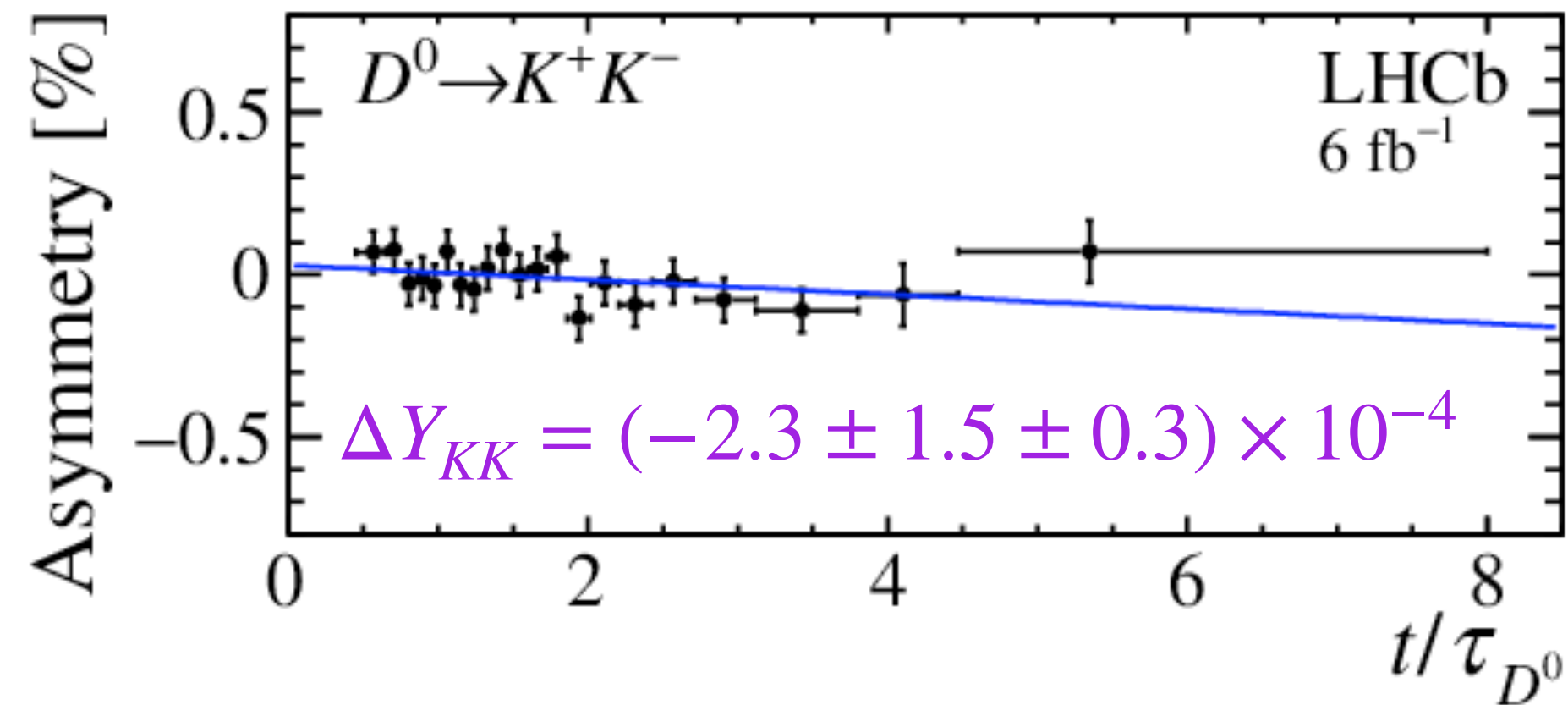
Violazione di CP nel tempo

Violazione di CP dipendente dal tempo: ΔY

$$A_{raw}(f, t) = \frac{N(D^0 \rightarrow f, t) - N(\bar{D}^0 \rightarrow f, t)}{N(D^0 \rightarrow f, t) + N(\bar{D}^0 \rightarrow f, t)} \approx A_0 + \boxed{\Delta Y} \frac{t}{\tau_{D^0}}$$

Contiene asimmetrie spurie
Violazione di CP nel tempo

Con i dati del Run 2 (5.9 fb^{-1}) a 13 TeV: [PRD 104.072010]

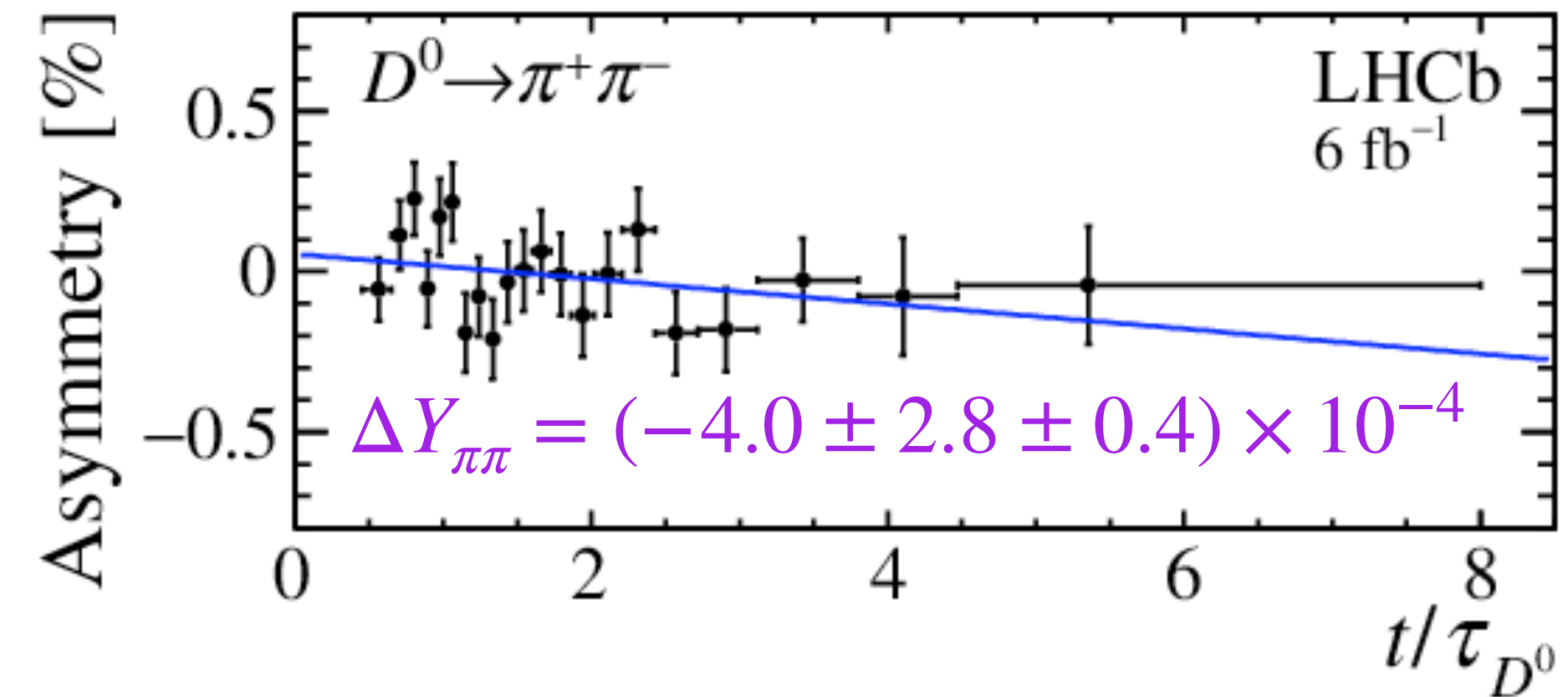
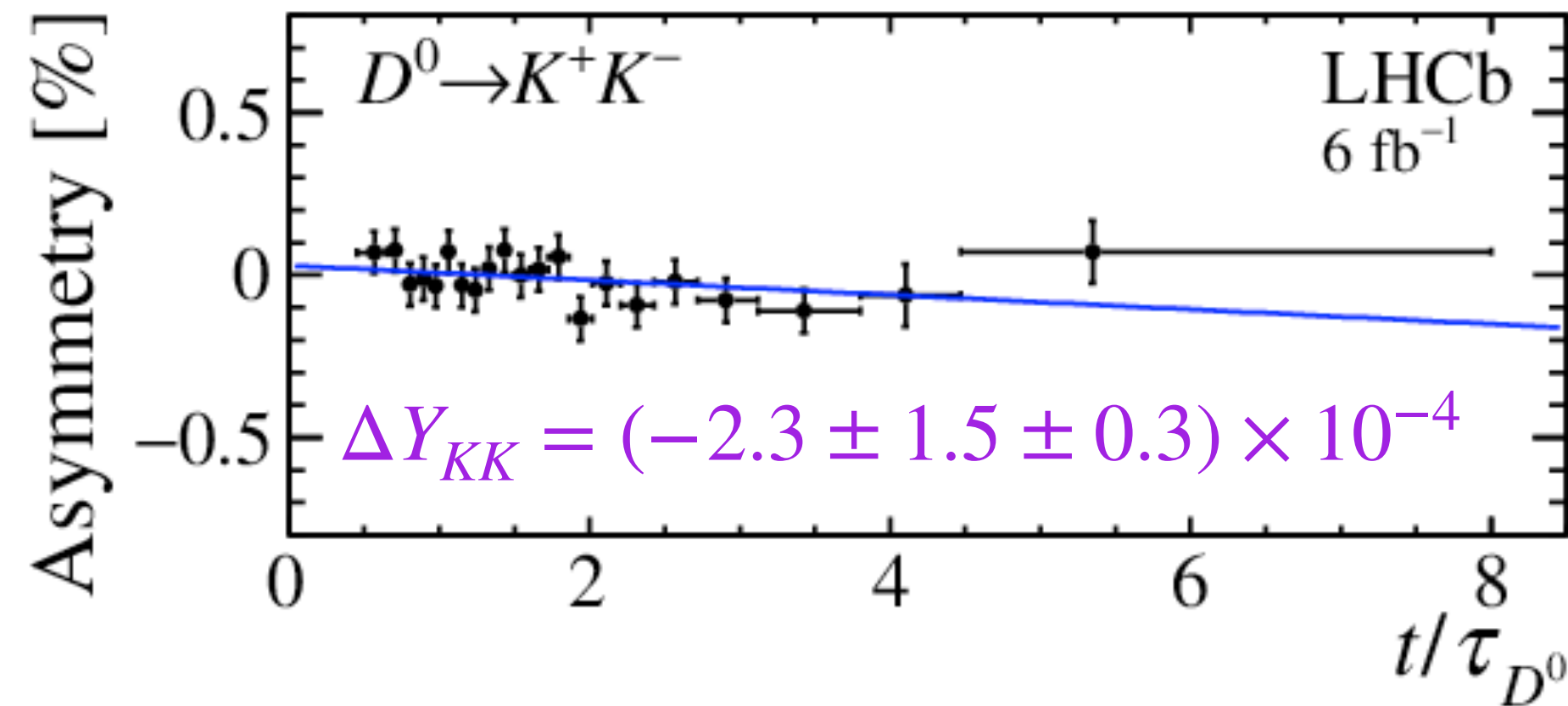


Violazione di CP dipendente dal tempo: ΔY

$$A_{raw}(f, t) = \frac{N(D^0 \rightarrow f, t) - N(\bar{D}^0 \rightarrow f, t)}{N(D^0 \rightarrow f, t) + N(\bar{D}^0 \rightarrow f, t)} \approx A_0 + \boxed{\Delta Y} \frac{t}{\tau_{D^0}}$$

Contiene asimmetrie spurie
Violazione di CP nel tempo

Con i dati del Run 2 (5.9 fb^{-1}) a 13 TeV: [PRD 104.072010]



Ignorando possibili differenze fra $K^- K^+$ e $\pi^- \pi^+$ e combinando con il Run 1 (3 fb^{-1}) a 7 – 8 TeV:

$$\Delta Y = (-1.0 \pm 1.1 \pm 0.3) \times 10^{-4}$$

Misura più precisa mai eseguita nel settore del Charm! (2021)

Violazione di CP nel decadimento: $A_{CP}(K^- K^+)$

Due metodi per cancellare le asimmetrie spurie usando decadimenti Cabibbo favoriti (no CPV)

$$\begin{aligned} \text{Metodo 1: } A_{CP}(D^0 \rightarrow K^- K^+) = & +A(D^{*+} \rightarrow (D^0 \rightarrow K^- K^+) \pi_{soft}^+) - A(D^{*+} \rightarrow (D^0 \rightarrow K^- \pi^+) \pi_{soft}^+) \\ & +A(D^+ \rightarrow K^- \pi^+ \pi^+) - [A(D^+ \rightarrow \bar{K}^0 \pi^+) - A(\bar{K}^0)] \end{aligned}$$

$$\begin{aligned} \text{Metodo 2: } A_{CP}(D^0 \rightarrow K^- K^+) = & +A(D^{*+} \rightarrow (D^0 \rightarrow K^- K^+) \pi_{soft}^+) - A(D^{*+} \rightarrow (D^0 \rightarrow K^- \pi^+) \pi_{soft}^+) \\ & +A(D_s^+ \rightarrow \phi \pi^+) - [A(D_s^+ \rightarrow \bar{K}^0 K^+) - A(\bar{K}^0)] \end{aligned}$$

Le cinematiche e le selezioni di particelle con ugual colore sono equalizzate per una cancellazione precisa

Violazione di CP nel decadimento: $A_{CP}(K^-K^+)$

[arXiv:2209.03179
sottomesso a PRL]

Con i dati del Run 2 (5.9 fb^{-1}) a 13 TeV:

Metodo 1: $A_{CP}(K^-K^+) = (13.6 \pm 8.8 \pm 1.6) \times 10^{-4}$

Metodo 2: $A_{CP}(K^-K^+) = (2.8 \pm 6.7 \pm 2.0) \times 10^{-4}$

Combinando i due metodi:

$$A_{CP}(K^-K^+) = (6.8 \pm 5.4 \pm 1.6) \times 10^{-4}$$

Violazione di CP nel decadimento: $A_{CP}(K^-K^+)$

[arXiv:2209.03179
sottomesso a PRL]

Con i dati del Run 2 (5.9 fb^{-1}) a 13 TeV:

Metodo 1: $A_{CP}(K^-K^+) = (13.6 \pm 8.8 \pm 1.6) \times 10^{-4}$

Metodo 2: $A_{CP}(K^-K^+) = (2.8 \pm 6.7 \pm 2.0) \times 10^{-4}$

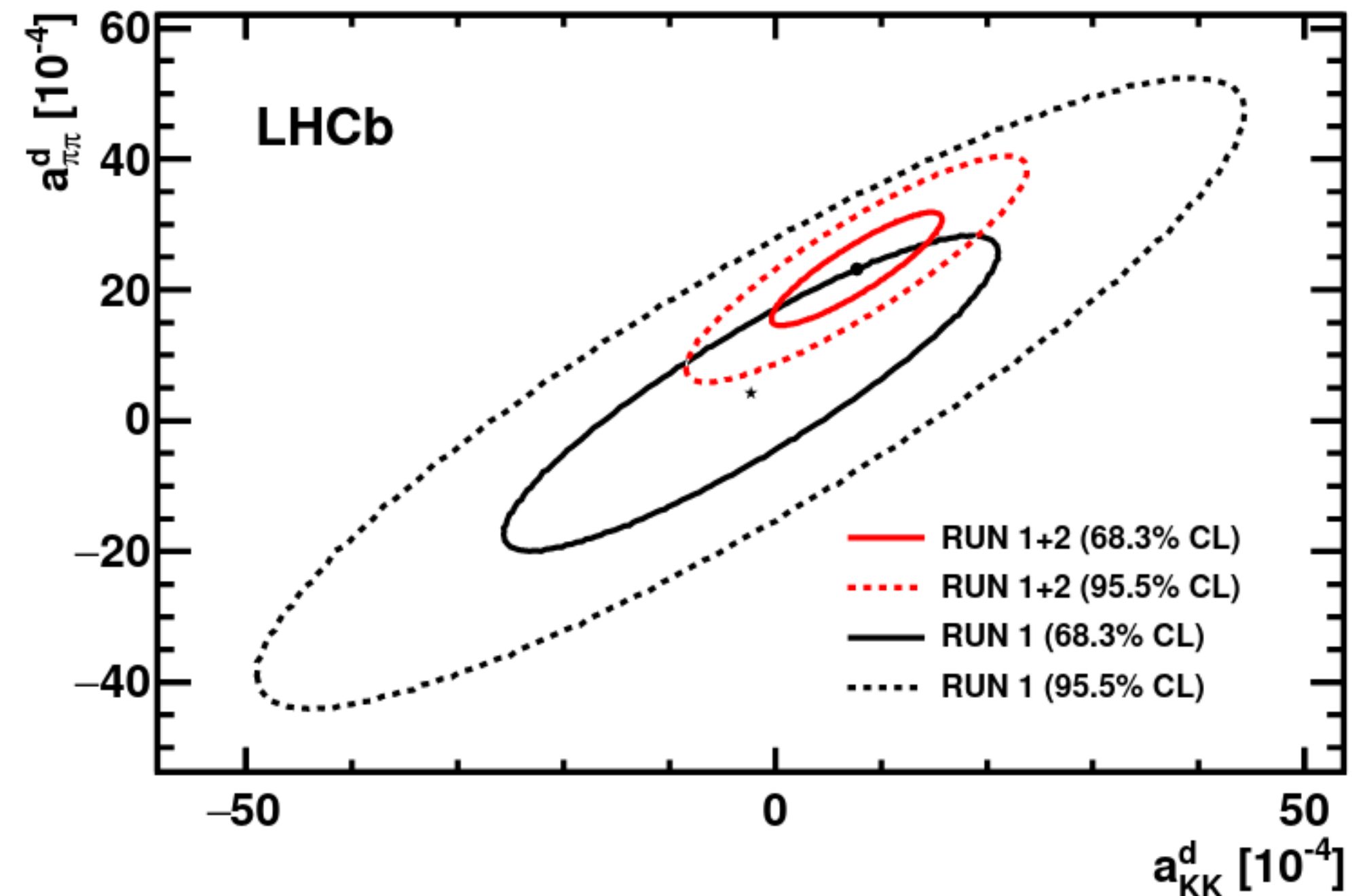
Combinando i due metodi:

$$A_{CP}(K^-K^+) = (6.8 \pm 5.4 \pm 1.6) \times 10^{-4}$$

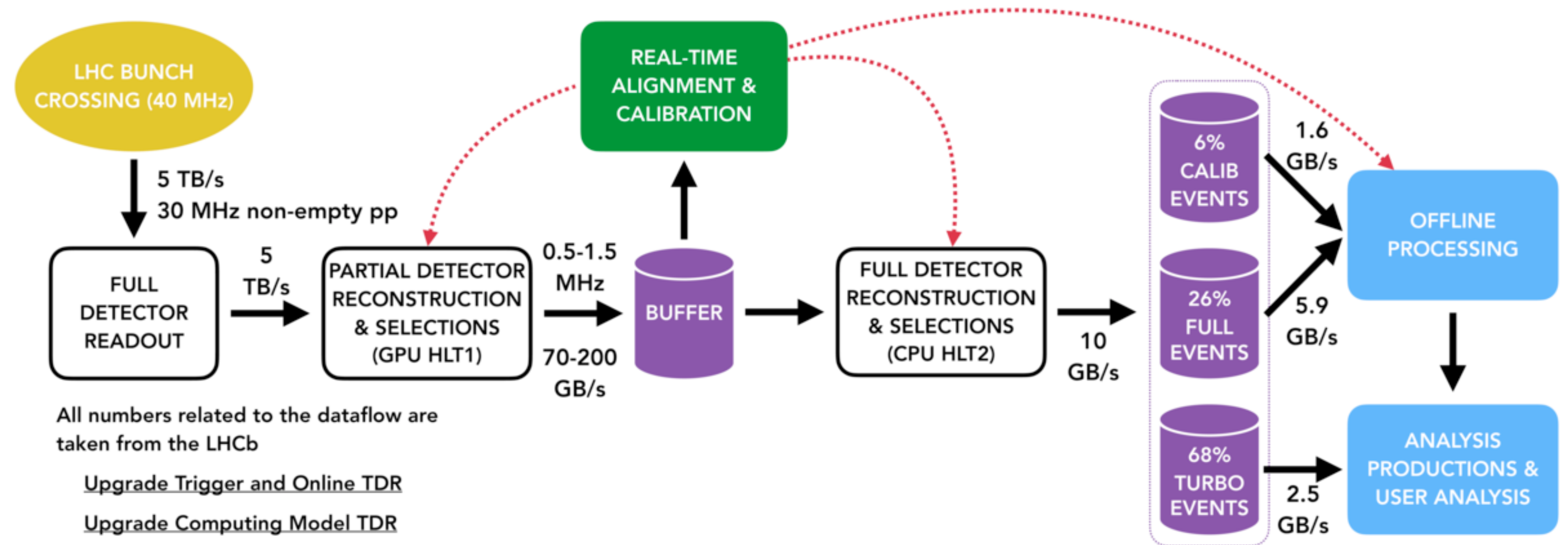
Combinando con il Run 1, ΔA_{CP} e ΔY :

$$a_{KK}^d = (7.7 \pm 5.7) \times 10^{-4} \quad a_{\pi\pi}^d = (23.6 \pm 6.1) \times 10^{-4}$$

Prima evidenza di violazione di CP in un singolo canale di decadimento a 3.8σ ! (2022)

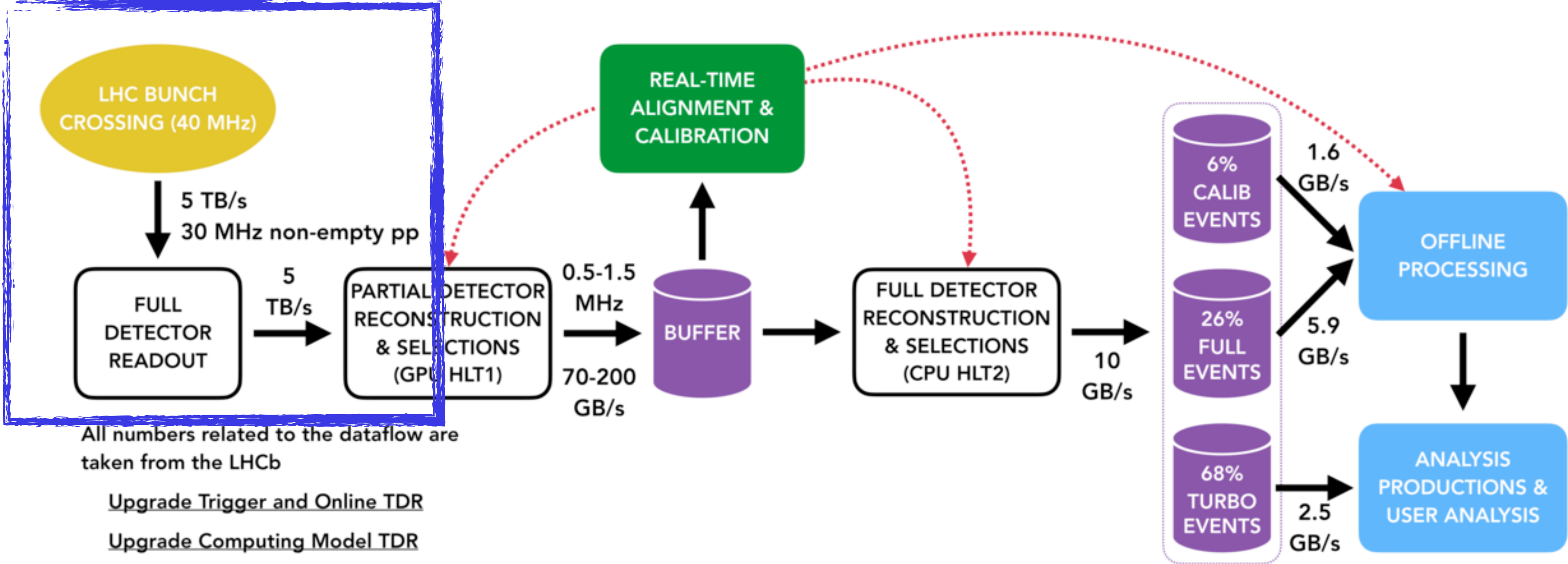


Potenziale per l'Upgrade di LHCb



Potenziale per l'Upgrade di LHCb

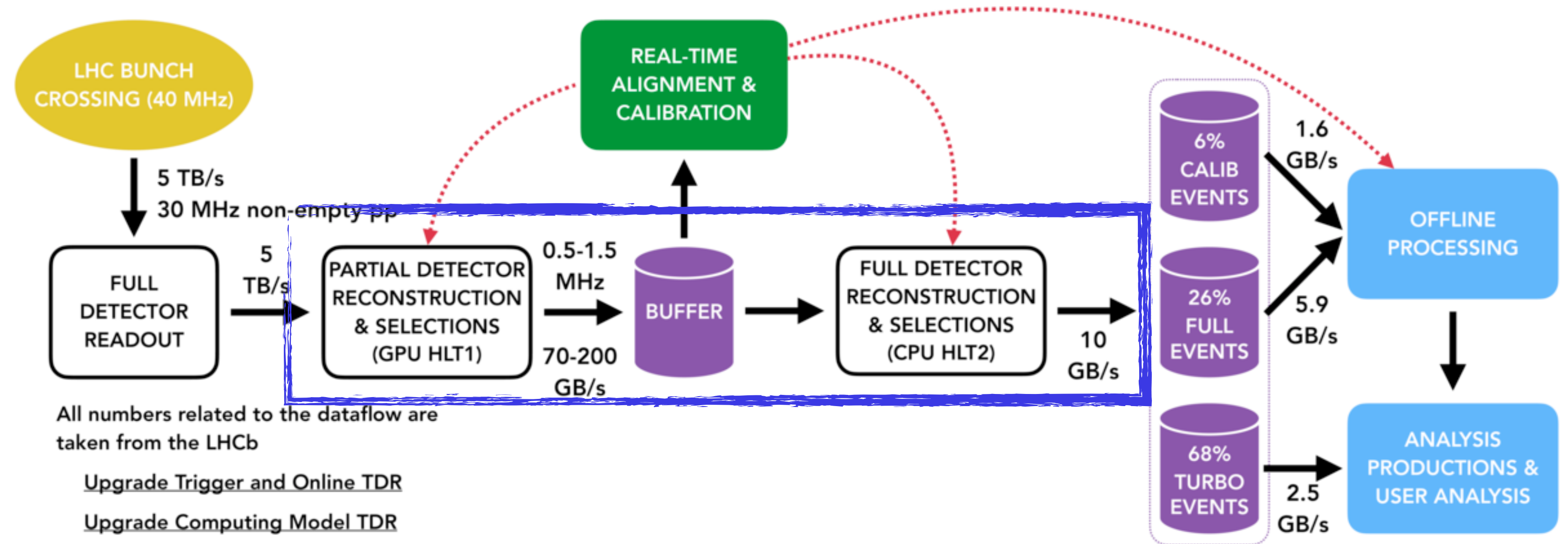
Solo informazioni di tracciamento
minori asimmetrie



Potenziale per l'Upgrade di LHCb

Solo informazioni di tracciamento:
minori asimmetrie

Selezioni in tempo reale divise su
due livelli software:

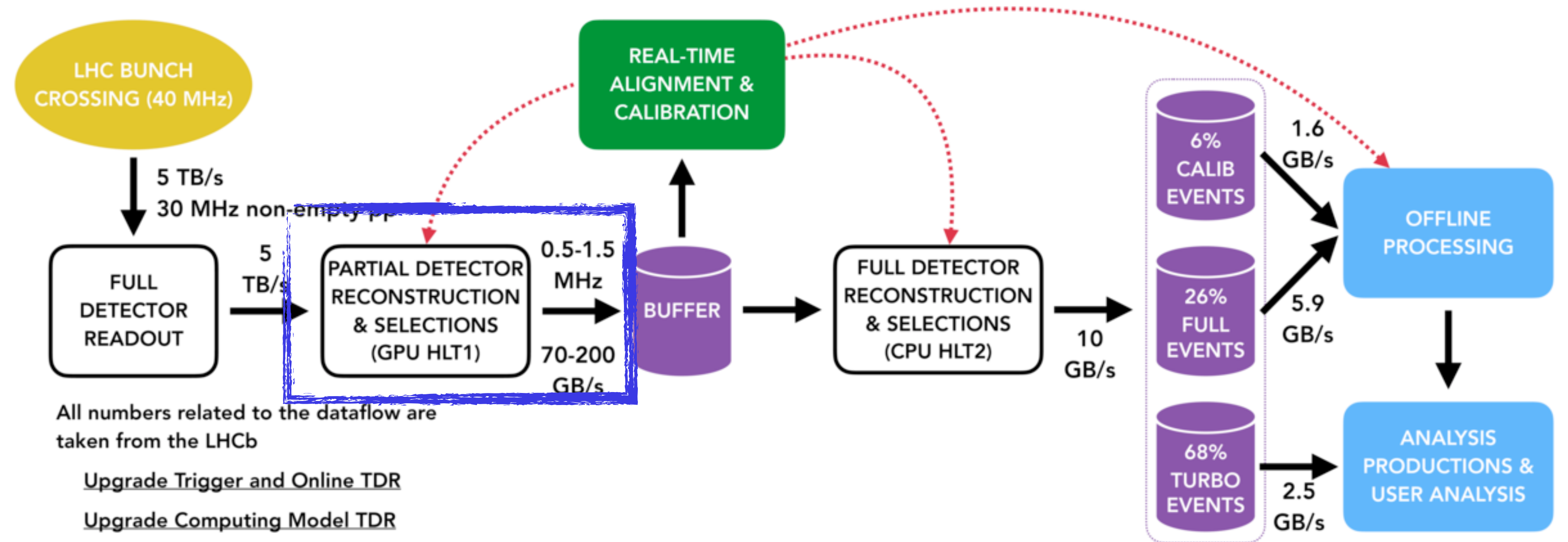


Potenziale per l'Upgrade di LHCb

Solo informazioni di tracciamento:
minori asimmetrie

Selezioni in tempo reale divise su
due livelli software:

Hlt1: ricostruzione e selezione a
30 MHz su GPU



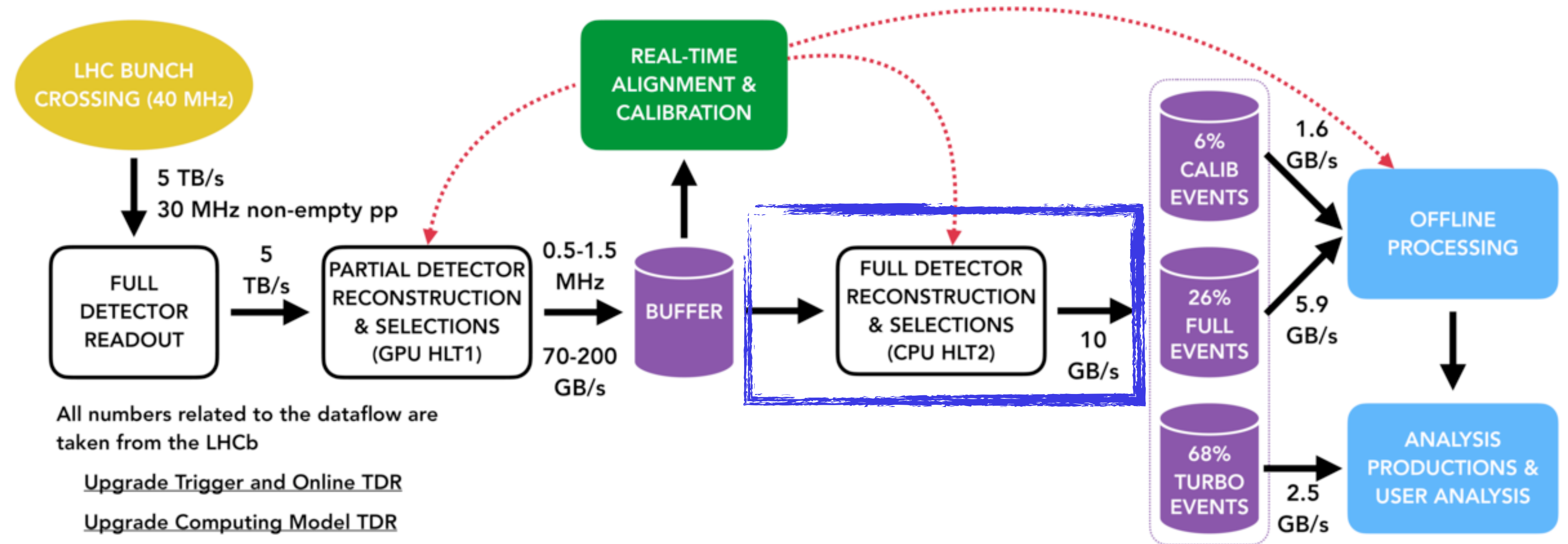
Potenziale per l'Upgrade di LHCb

Solo informazioni di tracciamento:
minori asimmetrie

Selezioni in tempo reale divise su
due livelli software:

Hlt1: ricostruzione e selezione a
30 MHz su GPU

Hlt2: ricostruzione finale su CPU



Potenziale per l'Upgrade di LHCb

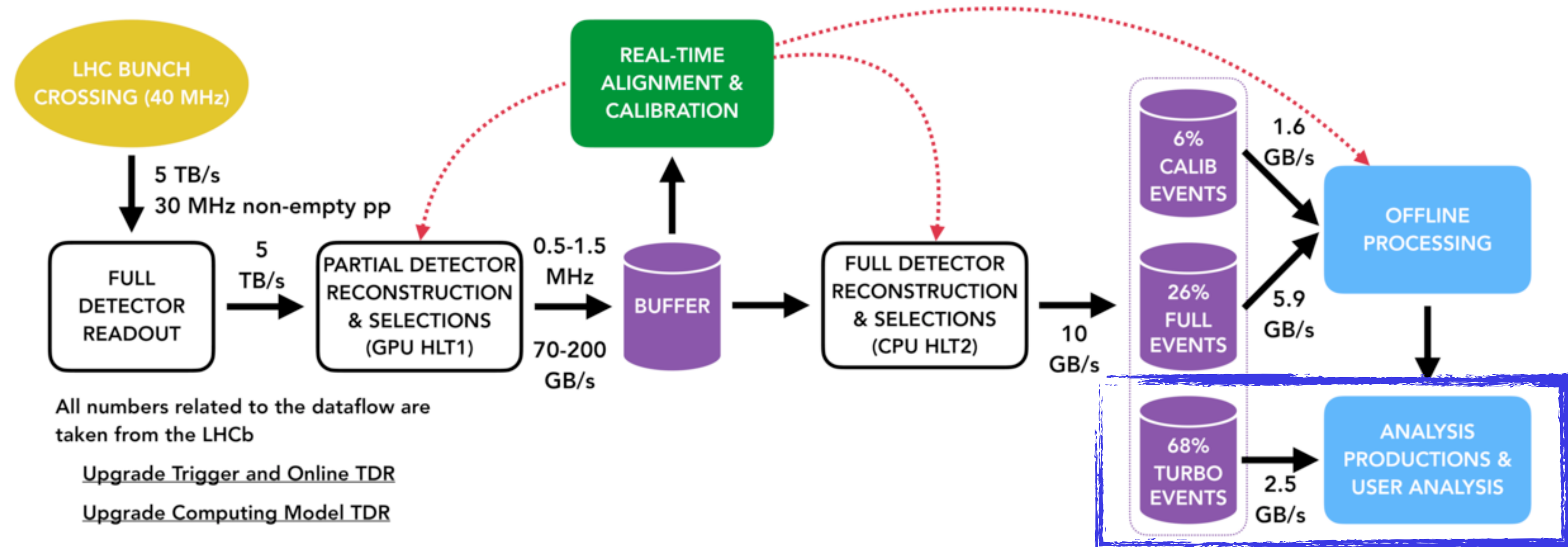
Solo informazioni di tracciamento:
minori asimmetrie

Selezioni in tempo reale divise su
due livelli software:

Hlt1: ricostruzione e selezione a
30 MHz su GPU

Hlt2: ricostruzione finale su CPU

Nel caso del Charm solo le
quantità relative al decadimento di
interesse vengono salvate su disco

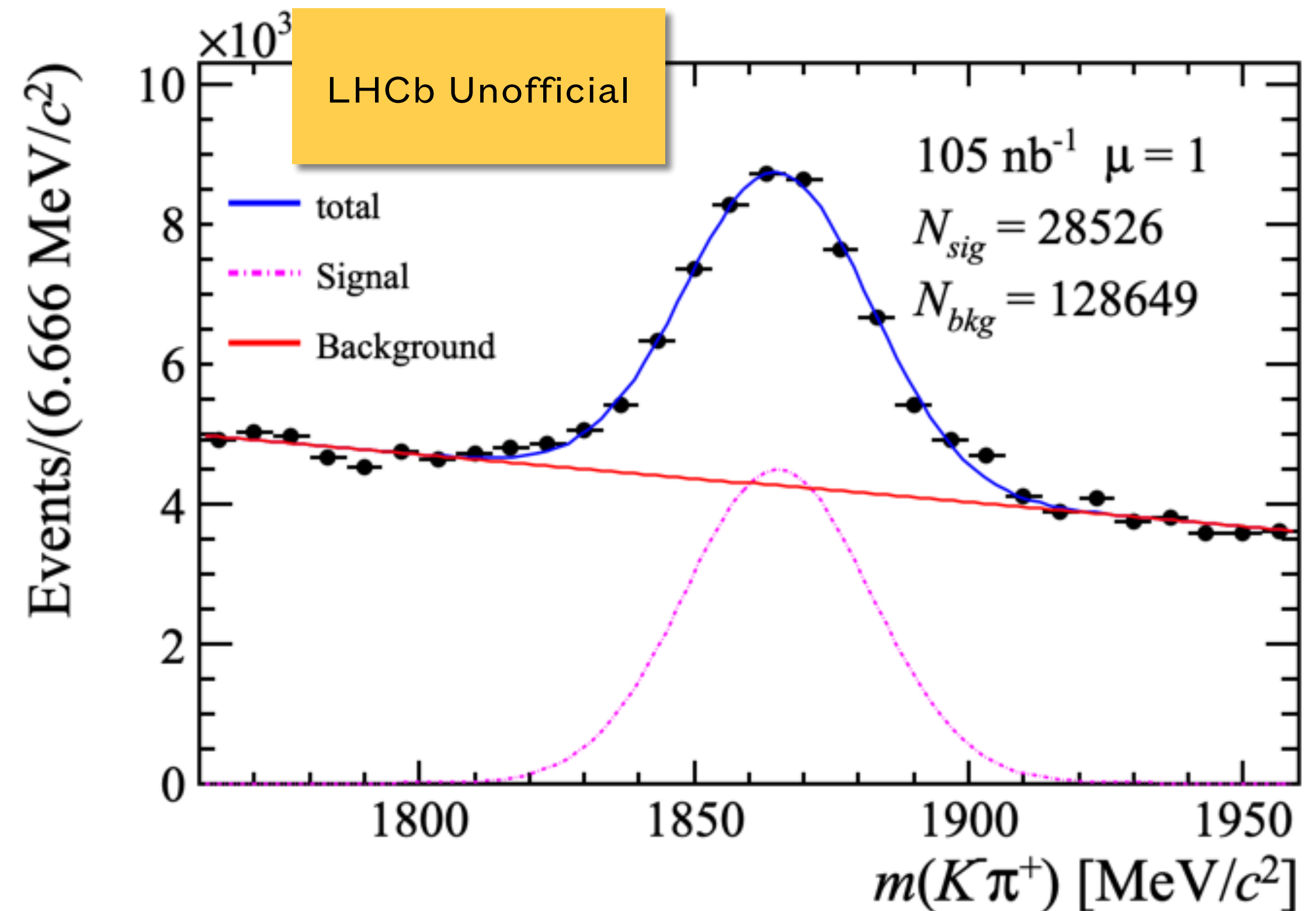


Potenziale per l'Upgrade di LHCb

Nel Run 3 LHCb esegue una selezione in tempo reale che gira a 30 MHz su GPU (Hlt1)

Linee esclusive selezionano vertici secondari compatibili con $D^0 \rightarrow hh'$

2022 anno di collaudo per LHCb: primi picchi in massa con ricostruzione Hlt1



Potenziale per l'Upgrade di LHCb

Nel Run 3 LHCb esegue una selezione in tempo reale che gira a 30 MHz su GPU (Hlt1)

Linee esclusive selezionano vertici secondari compatibili con $D^0 \rightarrow hh'$

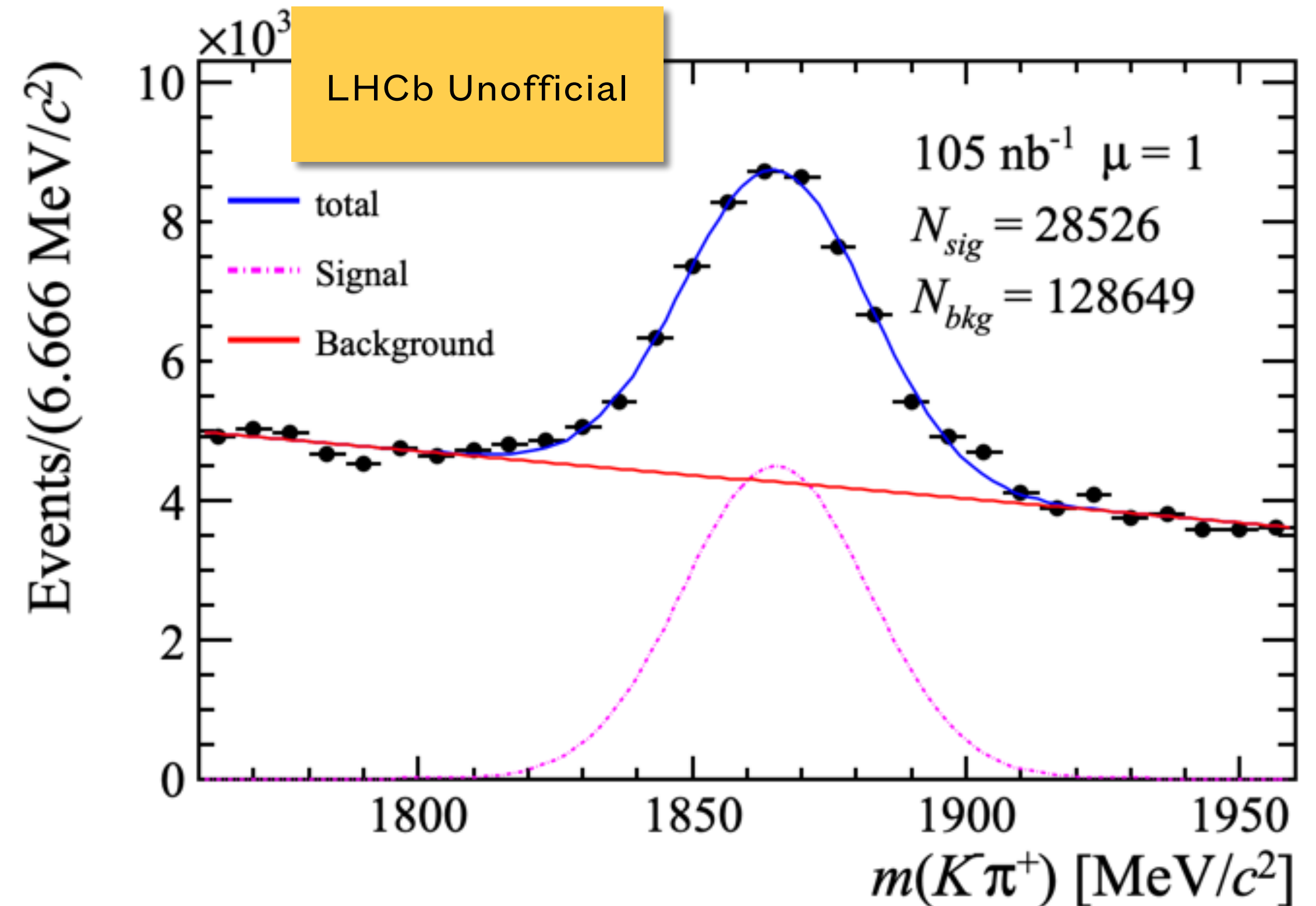
2022 anno di collaudo per LHCb: primi picchi in massa con ricostruzione Hlt1

Molti vantaggi nel ricostruire tutti i decadimenti senza selezioni calorimetriche:

Aumento di efficienza

Minori asimmetrie spurie

Maggiore controllo delle sistematiche



Potenziale per l'Upgrade di LHCb

Nel Run 3 LHCb esegue una selezione in tempo reale che gira a 30 MHz su GPU (Hlt1)

Linee esclusive selezionano vertici secondari compatibili con $D^0 \rightarrow hh'$

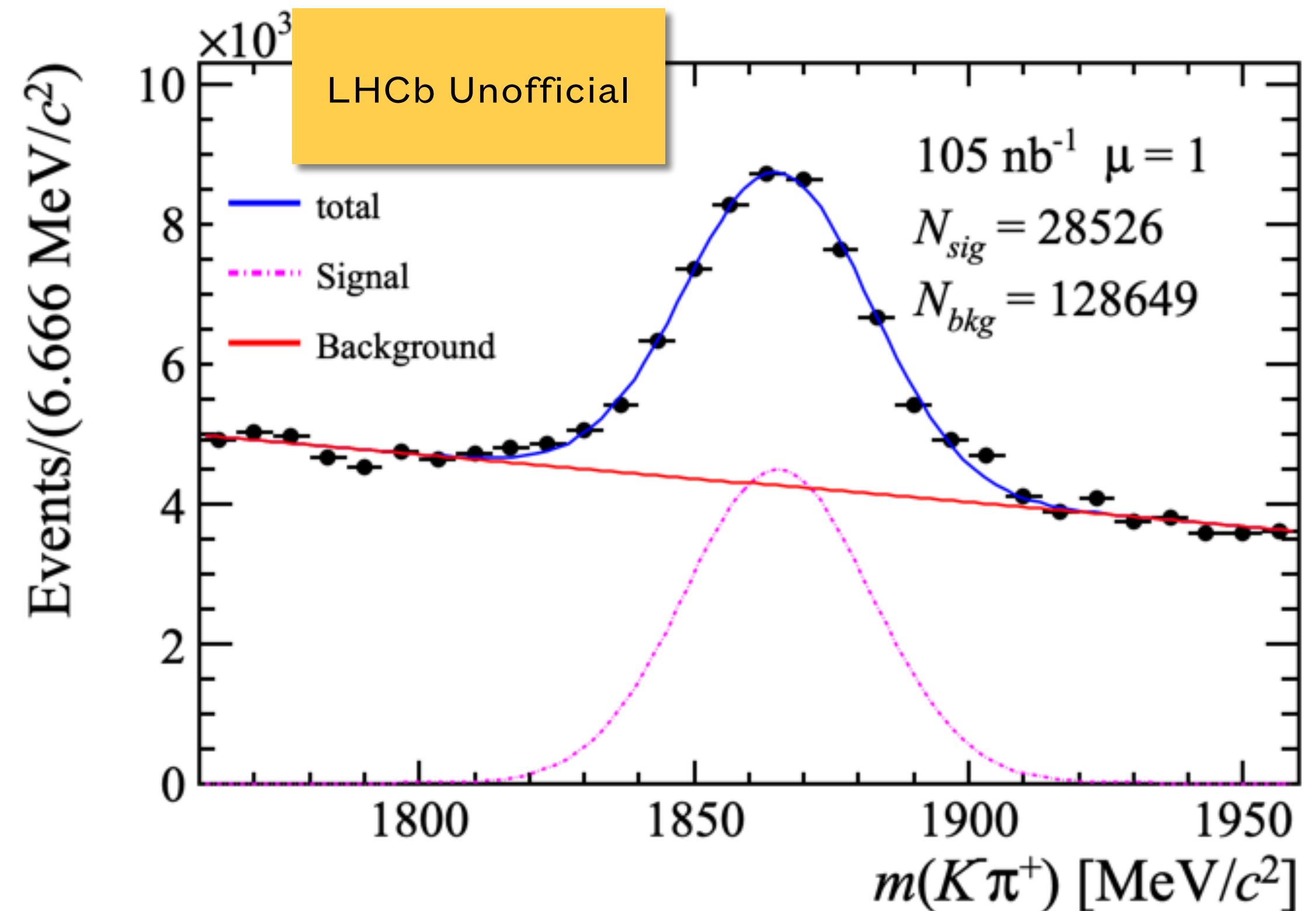
2022 anno di collaudo per LHCb: primi picchi in massa con ricostruzione Hlt1

Molti vantaggi nel ricostruire tutti i decadimenti senza selezioni calorimetriche:

Aumento di efficienza

Minori asimmetrie spurie

Maggiore controllo delle sistematiche



Il Run 3 e oltre permetteranno di esplorare con ancora maggior precisione la violazione di CP nel Charm

Back up

Violazione di CP dipendente dal tempo: ΔY

$$A_{raw}(f, t) = \frac{N(D^0 \rightarrow f, t) - N(\bar{D}^0 \rightarrow f, t)}{N(D^0 \rightarrow f, t) + N(\bar{D}^0 \rightarrow f, t)} \approx A_0 + \boxed{\Delta Y} \frac{t}{\tau_{D^0}}$$

Contiene asimmetrie spurie

Misurabile con fit lineare

Le asimmetrie spurie creano differenze fra le distribuzioni cinematiche di D^0 e \bar{D}^0

Un ripesamento cinematico elimina le asimmetrie spurie correlate con il tempo di decadimento

